

STUDIJA

**Aerosol mineralnog porijekla iz Sahare transportovan na područje
Crne Gore: Analiza procesa i efekata upotrebom modela za prognozu
zivotnog vijeka aerosola**
(Projektni elaborat)

*Slobodan Nickovic, naučni istraživac,
Euro-Mediterranean Centre on Insular Coastal Dynamics (ICoD), Malta*

Malta, april 2004.

Ugovor br. 01-2487 sa Republickim hidrometeoroloskim zavodom,
Podgorica

Aerosol mineralnog porijekla iz Sahare transportovan na područje Crne Gore: Analiza procesa i efekata upotreboom modela za prognozu životnog vijeka aerosola

Slobodan Nickovic, naučni istraživac,

Euro–Mediterranean Centre on Insular Coastal Dynamics (ICoD), Malta

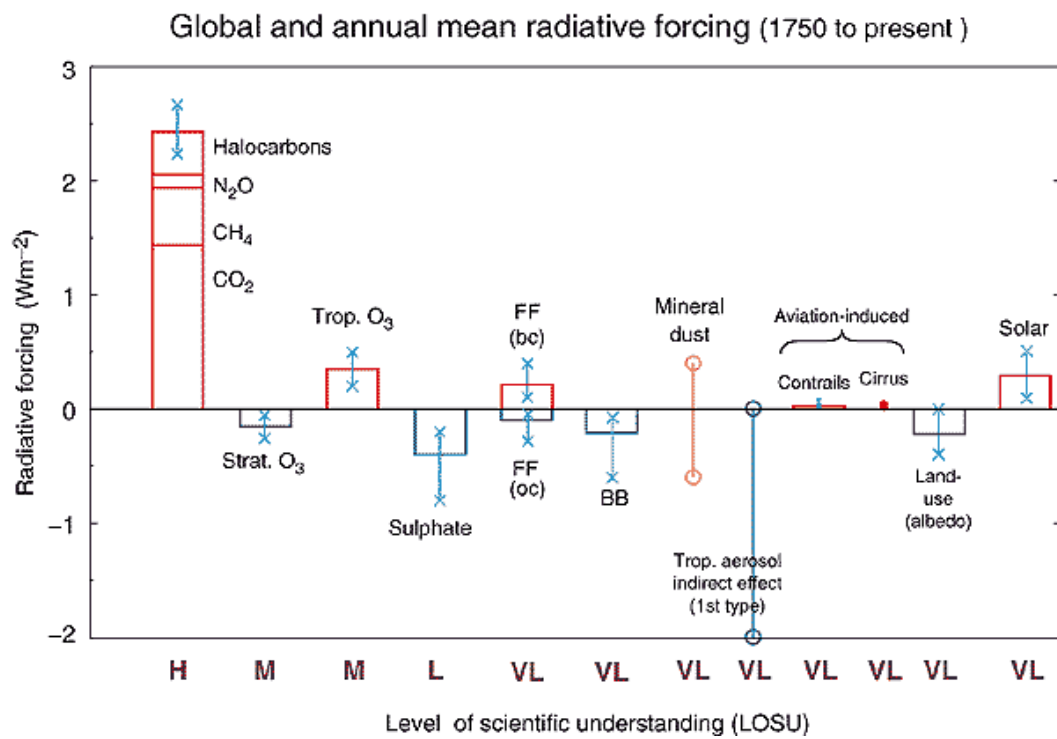
UVOD

Velike kolicine mineralnog aerosola (peska i pustinjske prasine) se pod pogodnim vremenskim uslovima unose u atmosferu iz pustinskih krajeva. Iako tacnije procene ovih kolicina jos uvek nisu potpuno pouzdane, smatra se da se godisnji unos kreće od nekoliko stotina do nekoliko hiljada megatona (*Dulac et al, 1992; Tegen i Fung. 1994*).

Do pre desetak godina, smatralo se da pustinjska prasina nema znacajnijeg uticaja na životnu okolinu i klimu. Saznanje se u tom smislu u skorije vreme drastично menja. Naime, razvoj satelitskih tehnika za detekciju atmosferskog aerosola kao i druga merenja, ukazuju da aerosol može znacajnije da promeni radijacione osobine atmosphere, naročito u oblastima kao npr. Mediterran koje su skoro permanentno eksponirane uticaju pustinjske prasine. Nasuprot efektima povećane kolicine gasova ‘zelene baste’ koji generalno imaju tendenciju da zagrevaju atmosferu, cini se da mineralni aerosol ima tendenciju hladjenja atmosphere. Naime, skorasnje studije (*Tegen i Fung 1994; Li i dr., 1996*) prepostavljaju da su efekti ove dve grupe supstranci poredive ali suprotnog znaka. U vidljivom delu spectra aerosol absorbuje manji deo solarne energije, a veci deo se rasipa i vraca u Kosmos. Ova kvalitativna procena međutim ostavlja otvorenim pitanje ukupnog radijacionog efekta mineralnog aerosola. IPPC izvestaj za 2001 ukazuje na znacajne efekte aerosola na klimu, ali istovremeno upozorava na cinjenicu da je taj klimatski efekat aerosola jos uvek najmanje istražen (Slika 1.).

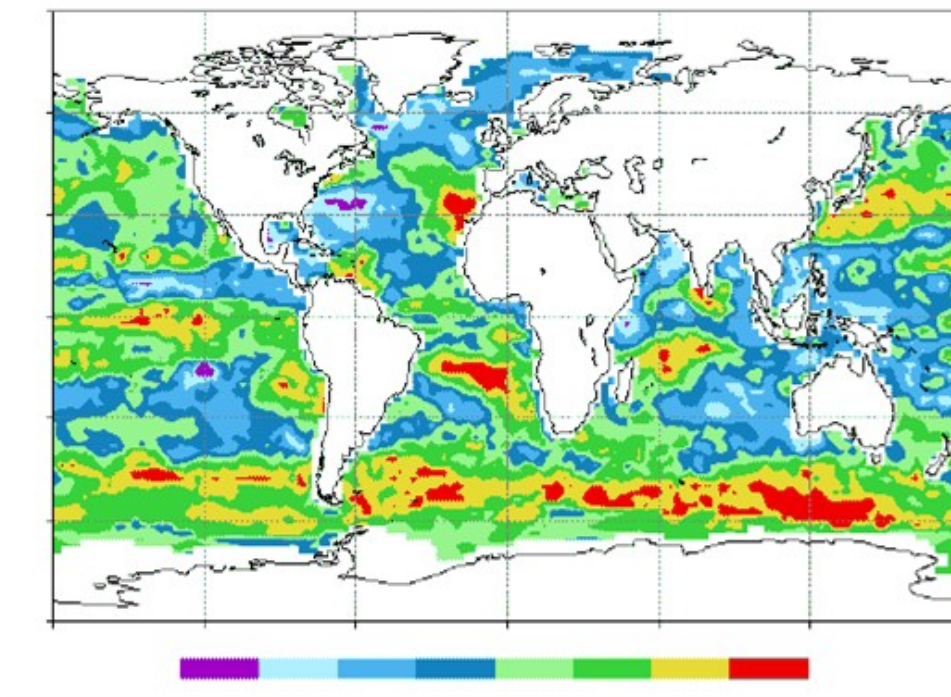
Pored radijacionih, postoje brojni drugi efekti koje pustinjska prasina izaziva. Pod određenim uslovima, i nakon deponiranja na površinu mora, prasina i jedinjenja gvozdja i fosfora koje sadrži, mogu da iniciraju kompleksi biohemski process (Martin i

Fitzwater, 1998), koji rezultira u ‘cvetanju’ mora (razvoj algi). Iako još uvek nedovoljno kvantifikovan i demonstriran uticaj mineralnog aerosola na biohemiske procese u moru, nedavnim istraživanjem izracunata je korelacija boje okeana (koja je indikator prisustva algi) i depozicije pustinske prasine izracunate tokom jednogodišnje egzekucije NASA globalnog modela prasine (Erickson, D., J. Hernandez, J. et al., 2001). Slika 2 pokazuje visok stepen korelacije između mineralnog aerosola i boje mora u mnogim delovima svetskog okeana.



Slika 1. Radijaciono forsiranje prema izvestaju IPCC (2001); Mineralna prasina je označena kao komponenta ciji se uticaj najmanje poznaje

Takodje, kao rezultat atmosferskih hemijskih reakcija, tzv. kisele kise koje nastaju kao posledica industrijskog zagadjenja, bivaju neutralizirtane prisustvoim mineralnog aerosola (Hedin I Likens, 1996). Nadalje, u oblastima koje su u blizini pustinja, povisene koncentracije prasine mogu znacajno da smanje kvalitet vazduha i da tako uticu na zdravlje populacije. Posledice ovakvih uticaja su povecan broj slučajeva astme i drugih bolesti disajnih organa, infekcije očiju i alergije.



Slika 2. Korelacija izmedju boje mora i depozicije pustinjske prasine

S obzirom na relativno malu geografsku udaljenost od Saharskih izvora, Crna Gora je povremeno izlozena uticaju pustinjske prasine. Transport veće kolicine pustinjske prasine se povremeno manifestuje u obliku zute kise. Svakako da kvalitativna iskustva nisu dovoljna da bi se kvantifikovali efekti ovog procesa. Uspostavljena merenja u Crnoj Gori na nekoliko stanica su jedan od izvora informacija koji mogu da pomognu u proceni efekata mineralnog aerosola na ovo područje. Komplementarni nacin da se taskva procena dopuni je upotreba matematičkih modela za transport pustinjske prasine. Danasni modeli pustinjske prasine, iako neminovno proizvode prognosticke greske, u

najvecem broju slucajeva sa razumnom tacnoscu uspevaju da prognoziraju sve glavne pustinjske oluje i transport koji ih prati (Soderman i Dulac, 1998; Westphal I dr., 2001) .

Kao posledica povecanog interesa naucne i laicke javnosti za proces mineralnog aerosola, nekoliko istrazivackih grupa tokom poslednjih desetak godina intenzivno radi na razvoju numerickih modela za simulaciju i operativnu prognozu transporta pustinjske prasine (Liu i Westphal, 2001; Tegen I Fung, 1996; Nickovic I dr. 2001). Numericki modeli se koriste kao komplementarni metod osmatranjima u istrazivanju aerosola. Za razliku od ustanovljene operative merenja i razmene atmosferskih parametara u okviru GTS sistema Svetske meteoroloske organizacije, praksa merenja mineralnog aerosla je jos uvek na pocetku a mreza osmatranja nedovoljene gustine da detaljnije opise zivotni ciklus ove pojave. U tom smislu, informacija dobijena modelima znacajno ublazava nedostatak operativnih osmatranja. Prognoze prasine danasnjim modelima kada se uporede sa raspolozivim osmatranjima pokazuju relativno visok nivo pouzdanosti.

U ovoj studiji je koriscen jedan od takvih modela za prognozu produkcije transporta i depozicije pustinjske prasine, tzv. DREAM model - Dust Regional Atmospheric Model (Nickovic and Dobricic, 1996; Nickovic et al., 1997a, 1997b, 2001). *Cilj ove studije* je da se analiziraju procesi Saharskog aerosola i kvantifikuju njegovi efekti na podrucju Crne Gore upotrebom modela DREAM. Studija se zasniva na analizi arhive operativnih prognoza pustinjske prasine u jednogodisnjem periodu januar - decembar 2002. U okviru studije, sacinjen je katalog slucajeva povecanog transporta i depozicije Saharske prasine iznad Crne Gore i analizirana njihova ucestalost. Takodje, analizirana je prostorna i vremenska varijabilnost procesa. Nadalje, odredjene su vrednosti akumulirane vlazne i suve depozicije iznad mora i kopna Crne Gore. U slucajevima transporta aerosola, izracunate su ekstremne vrednosti prizemne koncentracije. Ovi rezultati studije omogucuju procenu mogucih efekata prasine na zdravlje populacije kao i radijacione efekte u atmosferi iznad Crne Gore. Najzad, studija sadrzi detaljan opis naucnih metoda i tehnika primenjenih u modelu, kao i opis operativnog sistema koji omogucuje primenu modela za operativnu prognozu pustnjske prasine.

DREAM MODEL

DREAM model je razvijen zahvaljujuci podrscu nekoliko projekata Evropske Unije u periodu 1996-2003 (projekti MEDUSE, SKIRON, ADIOS-NAS I EARLINET-NAS). Ovaj model je prvi operativni regionalni model koji je uspesno primenjen za prognozu pustinjske prasine. U okviru Euro-Mediterranean Centre on Insular Coastal Dynamics (ICoD), Malta, model se trenutno dalje razvija. Takodje se koristi u istrazivacke i ili opertivne svrhe u nekoliko drugih institucija: u SAD, Izraelu, Italiji, Turskoj, Grckoj, Egiptu i Sudanu.

DREAM model je integriran u strukturu atmosferskog modela NCEP/Eta (Janjic, 1977; Janjic, 1984; Janjic, 1990; Janjic 1994; Janjic 1996,a, b; Janjic 1997). Dizajniran je tako da se poziva kao jedan od pod-programa atmosferskog NCEP/Eta modela. Ovakav pristup omogucuje da se DREAM egzekutira simultano sa atmosferskim modelom, koristeci u svakom iteracionom vremenskom koraku sve neophodne prognozirane parametere atmosferskog modela. Ovim se postize mnogo veca tacnost u prognozi aerosola nego kod tzv. off-line aerosol modela koji svoje izracunavanje realizuju naknadno, posto se atmosferska prognoza zavrsi.

Zivotni ciklus pustinjske prasine je opisan jednacinom kontinuiteta za koncentraciju aerosola:

$$\frac{\partial C_k}{\partial t} = -u \frac{\partial C_k}{\partial x} - v \frac{\partial C_k}{\partial y} - (w - v_{g_k}) \frac{\partial C_k}{\partial z} - \nabla \cdot (K_H \nabla C_k) - \frac{\partial}{\partial z} \left(K_z \frac{\partial C_k}{\partial z} \right) + \left(\frac{\partial C_k}{\partial t} \right)_{source} + \left(\frac{\partial C_k}{\partial t} \right)_{sink} \quad (1)$$

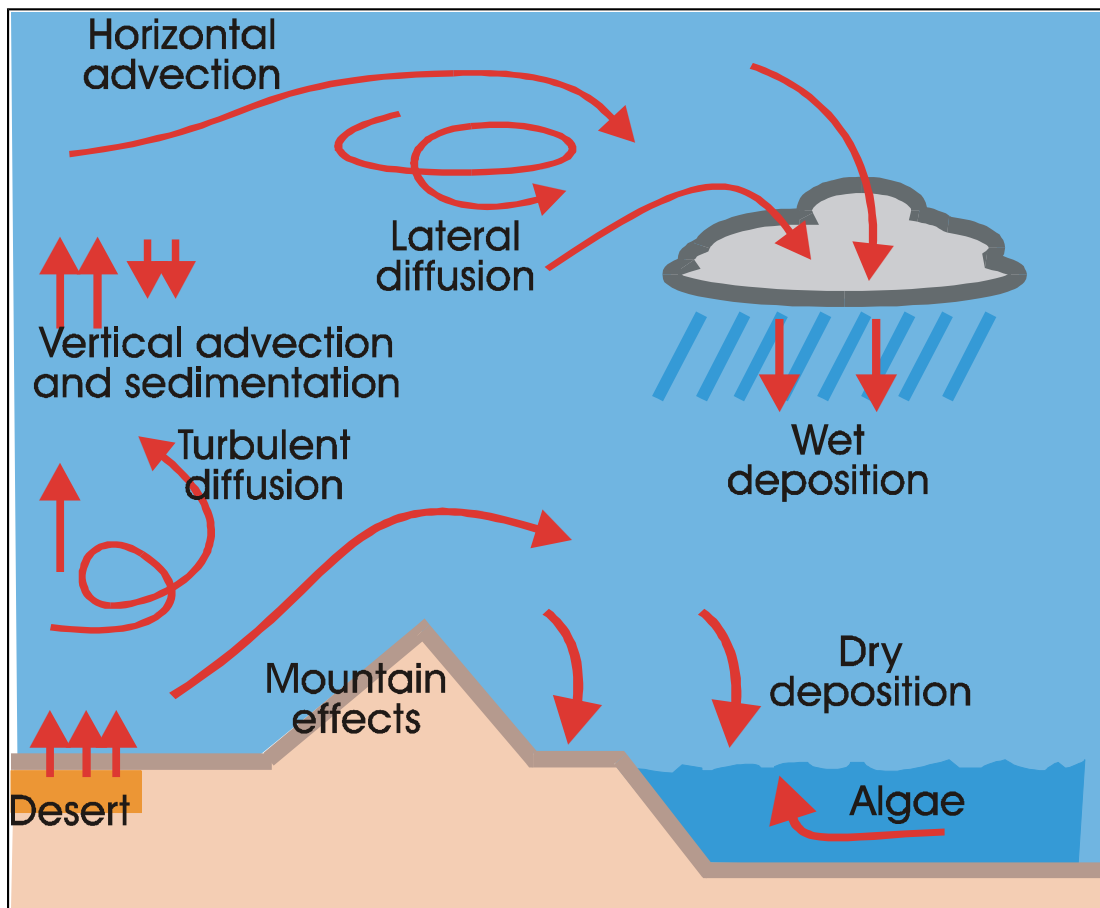
U jednacini (1), indeks k označava broj delica aerosola određenog poluprecnika. Koncentraciju u modelu sacinjavaju cetiri klase delica cije poreklo vodi od gline, mulja (cestice vecih i manjih dimenzija) i pesak. Simboli u i v označavaju komponente horizontalne brzine, w vertikalnu brzinu, C_k je koncentracija k -te klase, ∇ je horizontalni nabla operator, K_H je koeficient bocne difuzije, K_z je koeficient turbulentnog mesanja, $\left(\frac{\partial C_k}{\partial t} \right)_{source}$ i $\left(\frac{\partial C_k}{\partial t} \right)_{sink}$ su izvori i ponori pustinjske prasine. Ukupna koncentracija je otezana srednja vrednost koncentracija K klase:

$$C = \sum_{k=1}^K \delta_k C_k; \quad (2)$$

$$\sum_{k=1}^K \delta_k = 1 \quad (3)$$

Ovde δ_k označava frakciju mase k-te kategorije delica; taj faktor će biti kasnije objasnjen.

Sematski prikaz ciklusa pustinjske rasine u atmosferi je prikazan na slici 3.



Slika 3. Životni ciklus puštrinjskog aerosola

Modeliranje izvora

Erozija tla vетrom je kontrolisana sledecim faktorima: (1) vrstom tla, (2) vrstom biljnog pokrivača, i (3) turbulentnim mesanjem u prizemnoj atmosferi.

Producija koncentracije mineralnog aerosola se racuna kroz sledeće tri faze:

- Tacke mreze modela koje imaju ulogu potencijalnih izvora se odredjuju iz globalnog seta podataka o biljnog pokrivicu. Kategorije pustinja i polupustinja se proglašavaju buducim izvorima i prevode iz originalne globalne mreze u mrezu modela. Frakcija pripadajuće oblasti jedne racunske tacke modela pokrivene pustinjom se izracunava pomocu

$$\alpha = \frac{\text{broj pustinjskih tacaka u pripadajucoj oblasti}}{\text{ukupan broj tacaka biljnog pokrivaca u pripadajucoj oblasti}} \quad (4)$$

- Globalni set podataka o teksturi zemljista se prevodi u tacke mreze modela. Za svaku klasu teksture se procenjuju frakcije β delica gline, sitne i krupne cestice koje poticu od mulja i cestice peska.
- Definisu se karakteristicki poluprecni i gustina za cetiri kategorije delica. Procenjuje se odnos γ pokretne mase delica prema njihovoj ukupnoj masi (Tegen i Fung, 1996).
- Kombinacija faktora α , β I γ se korisiti da bi se izracunao faktor produktivnosti aerosola δ .

Za određivanje produktivnosti aerosola, koriste se setovi podataka relativno visokog horizontalnog razlaganja za teksturu i bijjni pokrivač. Istovremeno, ovi podaci se koriste za seme prizemnih procesa i u atmosferskom NCEP/Eta modelu. Maska M koja određuje koje su tacke modela pustinjske, određuje se kao što je to pokazano u Tabeli 1.

Tabela 1. Maska modela koja opisuje produktivnost aerosola izvedena iz seta podataka Olson World Data Set

Broj koda	Vrsta biljnog pokrivaca	Maska modela M
8	Pustinja, golo stenje, glina	1.0
50	Pescana pustinja i pustinjska dina	1.0
51	Polupustinja, sporadicno bilje	0.5
52	Polupustinja, stepa	0.5
Ostalo	/	0

Da bi se odredile teksturne klase zemljista koje zahteva NCEP/Eta model, koriste se dva seta podataka. Prvi je Staub i Zobler globalni set tekstura zemljista, sa razlaganjem od jednog stepena sa 7 teksturnih kategorija; drugi, UNEP/GRID FAO/UNESCO set za kategorije zemljista, koji je raspoloziv u globalnoj mrezi od 2 minuta sa 134 legende. Radi pronalazanja korespondencije izmedju dva seta, FAO vrednosti se prevode u ZOBLER kategorije za svaku tacku ZOBLER mreze. Izborom vrednosti FAO kategorija sa najvecom frekvencijom javljanja, uspostavlja se korespondencija jedan-prema-jedan izmedju dva seta. Na kraju, uspostavlja se veza izmedju ZOBLER kategorija i takozvanih Cosby kategorija zemljista (Cosby kategorije zahteva NCEP/Eta model) kao sto je to prikazano u Tabeli 2. Relativno ucesce gline, mulja i peska u zemljistu je odredjeno pomcu trougla glina/pesak/mulj, i pritom se mali i veliki mulj se tretiraju na isti nacin (Tegen i Fung, 1994).

Tabela 2. Veza izmedju teksturnih klasa I relativan doprinos gline, mulja i peska

ZOBLER teksturne klase	Cosby klase zemljista	Glina	Sitan mulj	Krupan mulj	Pesak
gruba	glinast pesak	0.12	0.08	0.08	0.80
srednja	mulj/gлина	0.34	0.56	0.56	0.10
fina	глина	0.45	0.30	0.30	0.25
gruba-srednja	pescani glina	0.12	0.18	0.18	0.70
gruba-fina	pesak glina	0.40	0.10	0.10	0.50
srednja-fina	glina loam	0.34	0.36	0.36	0.30
gruba-srednja-fina	Pescana glina mulj	0.22	0.18	0.18	0.60

Slika 4. ilustruje geografsku raspodelu izvora pustinjske prasine izracunate na osnovu podataka o pokrivenosti tla.

Raspodela velicine/mase delica

Totalna masa delica koja posle pokretanja sa podloge ulazi u atmosferu veoma zavisi od raspodele velicine delica. Model u sadasnjoj verziji ima $K = 4$ kategorije velicine delica. Delice cineelementi pustinskog zemljista sacinjenog od gline, sitnog i krupnog mulja, i peska. Za svaku od kategorija k , odredjuju se karakterisitcan poluprecnik (R_k), gustina (ρ_k) i odnos mase delica raspolozivih za pokretanje sa podloge

u odnosu na ukupnu masu delica (γ_k) [Tegen and Fung, 1994], kao sto je pokazano u Tabeli 3.

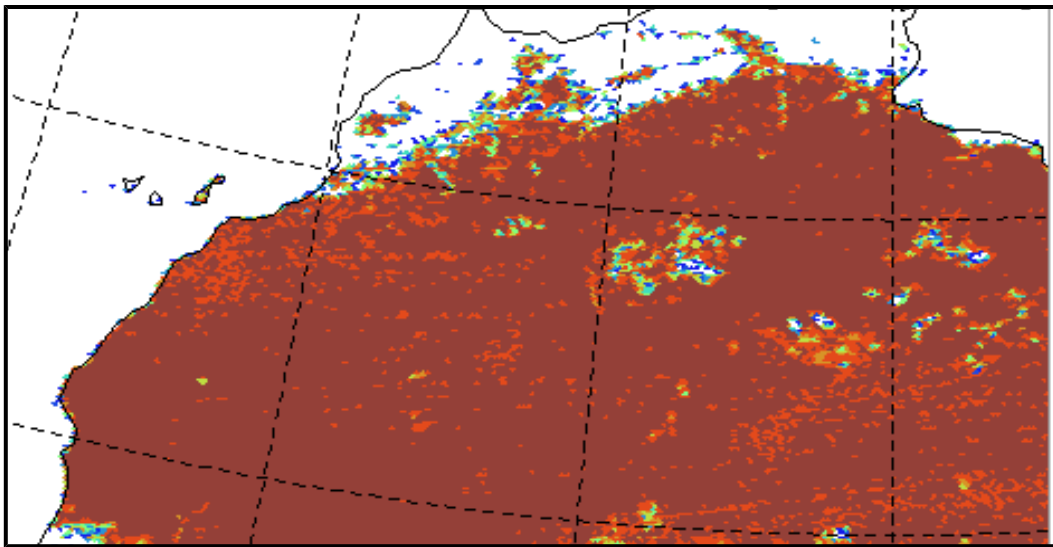
Tabela 3. Osobine delica prasine

k	Tip	Karakteristikani poluprecnik	Gustina $\rho_{pk} (g cm^{-3})$	γ_k
$R_k (\mu m)$				
1	Glina	0.73	2.50	0.08
2	Sitan mulj	6.1	2.65	1.00
3	Krupan	18	2.65	1.00
mu				
4	Pesak	38	2.65	0.12
lj				

Procenjuje se da je masa delica gline 1-2 reda velicine manja od mase ostalih delica ciji se radius kreće od $1 - 10 \mu m$. Tegen i Fung [1994] prepostavljaju da je frakcija gline raspoloziva za eroziju u intervalu $0.02 - 0.17$. U modelu DREAM, korisiti se $\gamma_1 = 0.08$.

Poluprecnik delica sitnog mulja se kreće od $1 - 25 \mu m$. Delici manji od $10 \mu m$ se vracaju na podlogu uglavnom putem vlagne i suve depozicije i turbulencijom. Delici veci od $10 \mu m$ se deponuju gravitacionim mehanizmima. Da bi se ovi efekti razdvojili, delici mulja su podeljeni na sitan ($1 - 10 \mu m$) i krupan ($10 - 25 \mu m$) mulj. Uvedena je prepostavka da za obe vrste mulja vazi ista erodibilnost $\gamma_2 = \gamma_3 = 1$.

Sa zivotnim vekom od oko jednog casa, delici peska prakticno ne ucestvuju u transportu prasine na velike distance. Medjutim, modeliranje transporta peska moze biti od znacaja za simulaciju lokalnog premostanja pescanih dina. U modelu se erozija peska predstavlja vrednoscu $\gamma_4 = 0.12$.



Slika 4. Izvori pustinjske prasine iznad dela Sahare izvedeni iz podataka o pokrivenosti tla

$$\text{Izracunavanje clana} \left(\frac{\partial C_k}{\partial t} \right)_{\text{SOURCE}}$$

Pokretanje delica prasine i peska na povrsini pustinjskog zemljista je pretezno uzrokovano tzv. procesom bombardovanja [Alfaro, 1997], gde krupniji delici sa poluprecnikom vecim od $20 \mu m$ razbijaju kohezione sile delica na povrsini i tako omogucuju sitnijim delicima da udju u atmosferu. Broj pokrenutih finijih delica pritom direktno zavisi od transporta atmosferske kolicine kretanja na podlogu. S druge strane, uslovi zemljista (structura i vlagost zemljista, i biljni pokrivac) odredjuju da li i koliko aerosola ce se konacno naci u atmosferi.

U modeliranju produkcije pustinjske prasine postoje uglavnom dva moguca pristupa u odredjivanu donjem granicnom uslovu u jednacini (1): metod povrsinskog fluksa i metod povrsinske koncentracije. Metod fluksa se korisiti u vecini danasnijih modela [npr. Westphal et al., 1987; Marticorena i Bergametti, 1995; Tegen i Fung, 1994]. U modelu DREAM se koristi povrsinska koncentracija kao donji uslov, cime se izracunavanje flukseva konzistentno usaglasava sa izracunavanjem povrsinskih atmosferskih flukseva u Eta/NCEP modelu u kome se povrsinski parametri (temperature, vlagost) uzimaju kao donji granicni uslov.

Proces pokretanja delica sa podloge i odgovarajuci povrsinski fluks aerosola zavisi od dve grupe uslova. Jedna grupa se odnosi na strukturu i stanje zemljista. Druga ukljucuje turbulentno stanje prizemne atmosphere.

U naucnoj javnosti ne postoji potpuna saglasnost kako da se opise zavisnost povrsinskog fluksa aerosola od brzine trenja. Na primer, Gillette i Passi [1988] smatraju da je vertikalni fluks prasine F_s funkcija brzine trenja koja asimptotski postize cetvrti stepen brzine za njene velike vrednosti:

$$F_s = \text{const} \times u_*^4 \left(1 - \frac{u_{*t}}{u_*} \right) \quad \text{za } u_* \geq u_{*t}. \quad (5)$$

Ovde je u_* brzina trenja, i u_{*t} njena kriticna vrednost ispod koje prestaje produkcija prasine.

Tegen i Fung [1994] koriste drugaciju zavisnost za vertikalni fluks:

$$F_s = \text{const} \times u_*^2 (u_* - u_{*t}) \quad \text{za } u_* \geq u_{*t}. \quad (6)$$

Prema studiji Shao i dr.. [1993] zasnovanoj na eksperimentima u wind tunelu, sledeca relacija se predlaze za istu svrhu:

$$F_s = \text{const} \times u_*^3 \left[1 - \left(\frac{u_{*t}}{u_*} \right)^2 \right] \quad \text{za } u_* \geq u_{*t}, \quad (7)$$

U modelu DREAM, (7) je polazna relacija za uvodjenje novog metoda za parametrizaciju produkcije prasine. Efekti podloge i raspodela velicine delica se opisuju parametrima α , β , and γ [videti Tabele 2. and 3.]. Faktor produktivnosti se definise kao:

$$\delta_k = \alpha \gamma_k \beta_k. \quad (8)$$

Ovde, k označava kategoriju delica. Uticaj teksture tla je ukljucen u β . Efektivni povrsinski fluks prasine se definise kao:

$$F_{Sk}^{EFF} = \delta_k F_S . \quad (9)$$

S druge strane, povrsinska koncentracija se moze izraziti preko vrednosti vertikalnog fluksa [Nickling i Gillies, 1989] na sledeci nacin:

$$C_{Sk} = const \times \frac{F_{Sk}^{EFF}}{\kappa u_*} . \quad (10)$$

Izraz (10) je izведен pod prepostavkom da je atmosfera neutralna.

Kombinovanjem (7)-(10), povrsinsak koncentracija moze da se izracuna kao:

$$C_{Sk} = c_1 \times \delta_k u_*^2 \left[1 - \left(\frac{u_{*tk}}{u_*} \right)^2 \right] \quad za \quad u_* \geq u_{*tk} . \quad (11)$$

Vrednost dimenzionalne empirijske konstante $c_1 = 2.4 \times 10^{-4} \text{ m}^{-5} \text{ kg s}^{-2}$ je odredjena a posteriori u eksperimentima sa modelom. Zavisnost kriticne brzine trenja od velicine delica se opisuje u poglavlju koje sledi.

Kriticna brzina trenja

Kriticna brzina trenja pri kojoj erozija tla zapocinje veoma zavisi od vlaznost tla i velicine delica. Vlaznost tla povecava kriticnu brzinu trenja, smanjujuci tako kolicinu prasine koja ulazi u atmosferu. Voda u tlu opstaje zahvaljujuci kapilarnim silama i zbog molekularne adsorpcije. U modelu DREAM, efekti vlaznost tla na u_{*t} se odreduju na osnovu metoda koji su predlozili Fecan i dr. [1999]. Maksimalni iznos adsorbovane vode w' je rastuca funkcija sadrzaja gline u tlu odredjena empirijskim putem:

$$w' = 0.0014(\%gline)^2 + 0.17(\%gline) . \quad (12)$$

Kombinovanjem (12) and β_k iz Tabele 2, određuje se veza izmedju w' i sedam tekstura tla koje se koriste, prikazana u Tabeli 4. Fecan i dr. [1999] definisu the kriticnu brzinu u (11) kao:

$$\begin{aligned} u_{*tk} &= U_{*tk} && \text{za } w \leq w' \quad (\text{suvo tlo}) \\ u_{*tk} &= U_{*tk} \sqrt{1 + 1.21(w - w')^{0.68}} && \text{za } w > w' \quad (\text{vlazno tlo}) \end{aligned} \quad (13)$$

Ovde je w aktualna vlaznost tla prognozirana atmosferskim modelom. Prema Bagnold-u [1941], zavisnost kriticne brzine od velicine delica se definise kao:

$$U_{*tk} = A_k \sqrt{2gR_k \frac{\rho_{pk} - \rho_a}{\rho_a}}, \quad (14)$$

Ovde je g gravitaciono ubrzanje, ρ_{pk} i ρ_a su gustina delica i vazduha, redom.

Parametar A_k je funkcija Reynolds-ovog broja $(Rr)_{pk} = \frac{2R_k U_{*tk}}{\nu}$; $\nu = 0.000015 \text{ m}^2\text{s}^{-1}$

je molekularna difuzivnost za kolicinu kretanja. Za cetiri kategorije delica u modelu, zadaju se vrednosti $A_k = \{1, 0.7, 0.4, 0.25\}$ na osnovu raspolozivih empirijskih podataka [White, 1979].

Iako Bagnoldova relacija za kriticnu brzinu trenja ne predvidja fluks ispod vrednosti U_{*tk} , osmatranja ukazuju da u slučaju opadanja u_* , erozija tla se ne zaustavlja trenutno vec traje jos neko vreme pod sub-kriticnim uslovima [Jackson, 1996]. Ovo se objasnjava inercijom procesa, cime transport opstaje izvesno vreme iako je dostignuta kriticna vrednost brzine. Ovi inercijalni efekti su takodje ukljeceni u model.

Efekti viskoznog podsloja

U Eta/NCEP modelu postoje dva sloja koja su odgovorna za kontrolu povrsinske razmene na povrsini okean-atmosfera: prvi, tanak viskozni podsloj tik iznad povrsine vode u kome se razmena topote, vlaznosti i kolicine kretanja obasjla molekularnom difuzijom; drugi je sloj iznad viskoznog u kome su fluksevi razmene odredjeni

turbulentnim mesanjem [Janjic, 1994]. Osobine viskoznog podsloja su odredjene razlicitim rezimima strujanja vazduha uz granicnu povrsinu.

Posto postoji fizicka slicnost u razmeni mase, topote i kolicine kretanja iznad razlicitih povrsina sa pokretnim elementima, kao sto su povrsine sa talasima, snegom i pustinjskom prasinom [Chamberlain, 1983; Segal, 1990], pomenuti model viskoznog sloja je primenjen i za koncentraciju prasine. Koristreci analogiju sa atmosferskim izracunavanjem flukseva, clan produkcije/izvora u jednacini (1) je predstavljen kao

$$\left(\frac{\partial C_k}{\partial t} \right)_{SOURCE} = - \frac{F_{Sk}}{\Delta z} . \quad (15)$$

Ovde je Δz dubina poslednjeg sloja u modelu, k je indeks koji označava kategoriju velicine delica, I F_{Sk} je turbulentni fluks koncentracije prasine iznad viskoznog podsloja. S druge strane, turbulentni fluks može da se izracuna koriscenjem parametara viskoznog podsloja kao:

$$F_{Sk} = \nu \frac{C_{0k} - C_{Sk}}{z_C} . \quad (16)$$

Indeks 0 označava vrednosti na granici izmedju viskoznog podsloja i turbulentnog sloja; indeks S označava vrednosti na podlozi. Dubina viskoznog podsloja se aproksimira sa

$$z_C = \frac{0.35 M Rr^{0.25} Sc^{0.5} \nu}{u_*} . \quad (17)$$

Ovde je M parametar koji se menja za razlicite turbulentne rezime, a u_* je brzina trenja. Reynoldsov broj hrapavosti Rr i Schmidtov broj Sc su definisani sa

$$Rr = \frac{z_0 u_*}{\nu}, \quad Sc = \frac{\nu}{\lambda}, \quad (18)$$

gde je λ difuzivnost delica, a $z_0 = \max \left(0.018 \frac{u_*^2}{g}, 1.59 \times 10^{-5} \right)$.

Koristeci metod Janjica [1994], uvedena je prepostavka da viskozni podsloj za transport prasine vazi za sledece rezime iznad pokretnih povrsina: a) glatki i prelazni rezim, b) hrapav i c) veoma hrapav. Njihove su karakteristike odrdjene turbulentnim stanjem opisanim sa Rr (sto je takodje ekvivalentno u_*). Uvodi se prepostavka da prelaz izmedju rezima nastaje za vrednosti $u_{*r} = 0.225 \text{ m s}^{-1}$ and $u_{*s} = 0.7 \text{ m s}^{-1}$. Parametar M je definisan sa $M = 30$ za prvi rezim i $M = 10$ za ostale, a ove vrednosti su odredjene merenjima.

Difuzivnost delica λ je mnogo puta manja od V [Businger, 1986]. U eksperimentima sa wind tunelom [Chamberlain et al., 1984] u kome su korisceni sinteticki delici precnika $0.65\mu\text{m}$, odredjene su sledece vrednosti difuzivnosti delica: $\lambda = 4.8 \times 10^{-9} \text{ m}^2\text{s}^{-1}$ za glatke i prelazne povrsine, i $\lambda = 3.0 \times 10^{-8} \text{ m}^2\text{s}^{-1}$ za hrapave povrsine. Ove dve vrednosti se koriste i u nasem modelu. Podaci o λ za treci rezim nedostaju pa se uzima vrednost $\lambda = 7.0 \times 10^{-8} \text{ m}^2\text{s}^{-1}$.

Objasnimo sada kako se fluksevi prasine racunaju pod razlicitim rezimima strujanja. U rezimu glatkih povrsina viskozno mesanje dominira nad turbulentnim u formiranju povrsinskih flukseva u razmeni materije i energije izmedju podloge i atmosfere. . Kada u_* predje kriticni vrednost u_{*r} , tog momena rezim glatke povrsine prestaje da funkcione, i strujanje prelazi u rezim hrapave povrsine. Tada viskozni podsloj za kolicinu kretanja prestaje da radi, dok su podslojevi za flukseve ostalih velicina (toplota, vlaznost, prasina) jos uvek aktivni, sve dok se ne dostigne druga kriticna vrednost, tj. u_{*s} . Tog momenta, hrapavi rezim prelazi u veoma hrapavi i turbulentno strujanje postaje potpuno razvijeno. Viskozni podslojevi skalarnih velicina ovde prestaju da funkcione.

Izraz (16) moze da se predstavi i na drugi nacin. Kada se umesto velicina viskoznog mesanja uvedu parametri koji vaze za turbulentnu razmenu, tada se na gornjoj povrsini viskoznog sloja fluks (16) moze izracunati kao:

$$F_{Sk} = K_s \frac{C_{LMk} - C_{0k}}{\Delta z} . \quad (19)$$

K_s je povrsinski koeficient turbulentnog mesanja za koncentraciju, a LM označava najnizi racunski nivo modela. Pretpostavljamo da je K_s ekvivalentno koeficientima za vlastnost i toplotu. Koeficienti povrsinskog mesanja se inace u atmosferskom modelu izracunavaju na osnovu metoda Monina i Obukhova [Janjic, 1996b].

Na vrhu podsloja, fluksevi (16) i (19) moraju da budu jednaki kako bi se zadovoljio zahtev za kontinualnoscu koncentracije. Kao posledicu imamo:

$$C_{0k} = \frac{C_{Sk} + \omega C_{LMk}}{1 + \omega}. \quad (20)$$

Ovde

$$\omega = \frac{\left(\frac{K_s}{\Delta z} \right)}{\left(\frac{\lambda}{z_c} \right)}, \quad (21)$$

ima ulogu tezinskog faktora u jednacini (20). Iz (19) i (20), povrsinski fluks se izracunava kao:

$$F_{Sk} = K_s^* \frac{C_{LMk} - C_{Sk}}{\Delta z}. \quad (22)$$

gde je C_{Sk} definisano sa (11), a

$$K_s^* = \frac{1}{1 + \omega} K_s \quad (23)$$

je koeficient mesanja iz teorija slicnosti, samo sto je u nasem slučaju korigovan viskoznim efektima.

Konvektivni mesanje u odsustvu smicanja vetra sa visinom

Dosadašnje razmatranje se odnosilo na uslove strujanja kod kojih postoji smicanje vetra, pa shodno tome i turbulentno mesanje. U pustinskim uslovima, međutim, može se

u uslovima pregrejane podloge pojaviti jako uzlazno kretanje i u pocetnom odsustvu smicanja vetra sa visinom. Ovakve lokalne cirkulacione structure mogu da pospese raszmenu prasine u vertikalnom pravcu. U takvim slucajevima se povrsinski fluksevi racunaju drukcije od (22).

Zilitinkevich i dr. [1998] su predlozili metod koji se odnosi na ovu kategoriju mesanja. U odsusutvu smicanja vetra, brzina trenja postaje jednaka nuli sto uzrokuje pojavu singulariteta u izracunavanju povrsinskih flukseva u tradicionalnom pristupu kao sto je npr. teorija Monina i Obukhova. Da bi se otklonila ova teskoca, metod Beljaarsa [1994] je primenjen u Eta/NCEP modelu tako sto se turbulentna kineticka energija koriguje uzimajuci u obzir parameter turbulentnog mesanja vecih turbulentnih elementa u slobodnoj atmosferi [Janjic, 1996b]. Na taj nacin se sprecava da brzina trenja postane nula. Prema Beljaarsovom metodu, povsinska fluks potiska $(\overline{w' T'})_s$ se koristi da bi se izracunala turbulentna kineticka energija veta pri povrsini:

$$U_B^2 = (1.2 \times W^*)^2, \quad (24)$$

gde je razmer konvektivne brzine definisan sa

$$W^* = \left[\frac{1}{273} \times gh(\overline{w' T'}) \right]^{1/3}. \quad (25)$$

Ovde je h dubina konvektivnog granicnog sloja. U praksi, Beljaarsova korekcija se racuna tako sto se vrednost U_B dodaje vrednosti veta na gornjoj granici povrsinskog sloja.

Umesto Beljaarsove korekcije, u DREAM je uveden metod Zilitinkevicha i dr. [1998] za slucajeve odsustva smicanja vetra kada je podloga pregrejana. Vodjeno potiskom, formira se strujanje sa jakom konvergencijom pri tlu i zancajnim uzlaznim kretanjem iznad. Takvo kretanje se karakterise takozvanom ‘minimalnom brzinom trenja’ U_* i ‘minimalnom duzinom Monin i Obukhova’ L_* . Rezultujuci konvektivni fluks prasinese izracunava pomocu ‘aerodinamickog’ koeficiente mesanja

$$K_{AC} \equiv \frac{F_s}{U_* \Delta C_A}, \quad (26)$$

Izraz (26) vazi za prilicno sirok opseg turbulentnih uslova, tj.za $10^{-10} \leq z_{0u} / h \leq 10^{-5}$. Ovde je z_{0u} visina hraptavosti za kolicinu kretanja. ‘Aerodinamicki dodatak’ za koncentraciju se definise kao

$$\Delta C_A \equiv C_{AS} - C_{LM} = \left(C_s - \frac{F_c}{\kappa U_*} \ln \frac{z_{0u}}{z_{0c}} \right) - C_{LM}, \quad (27)$$

gde je $\kappa = 0.4$ von Karmanova konstanta, C_{LM} koncentreacija na najnizem nivou modela, C_s je povrsinska koncentracija definisana sa (11), i C_{AS} koncentracija koja je logaritamski ekstrapolisana nanize na visinu $z = z_{0u}$. Prateci metod Zilitinkevicha i dr. [1998], uvode se sledece prepostavke:

$$\frac{U_*}{W_*} = 0.36 \left(\frac{z_{0u}}{h} \right)^{0.1}, \quad (28)_1$$

$$K_{AC} = \frac{1}{4.4 \left(\frac{h}{z_{0u}} \right)^{0.1} - 1.5}. \quad (28)_2$$

Ove vrednosti se odlicno slazu sa osmatranjima.

Na kraju, koriscenjem (26), (27) i (28), povrsinski fluks kada nema smicanja vetra se izracunava kao:

$$F_s = \frac{0.36 \left(\frac{z_{0u}}{h} \right) W_* (C_s - C_{LM})}{\frac{1}{\kappa} \ln \frac{z_{0u}}{z_{0c}} + 4.4 \left(\frac{z_{0u}}{h} \right)^{-1} - 1.7}. \quad (29)$$

Suva depozicija

Proces suve depozicije je parametrizovan koriscenjem metoda Georgi-a [1986]. Ovaj metod uključuje depoziciju putem povrsinskog turbulentnog mesanja, putem Braunove difuzije, gravitacionim uticajem i uticajem hrapavosti podloge.

Depoziciona brzina v_{dep} se parametruje sa:

$$v_{dep} = \frac{1}{\frac{1}{v_{SL}} + \frac{1}{f_{B0}v_{IL}}} . \quad (30)$$

Ovde je v_{SL} brzina turbulentne depozicije, u sloju izmedju z_s i 10 m; v_{IL} je brzina turbulentne depozicije na vrhu viskoznog podsloja z_s , i f_{B0} je empirijska konstanta.

Brzina v_{SL} se izracunava sa

$$v_{SL} = C_{D10} U_{10} \frac{\sqrt{C_{D10}}}{\sqrt{C_{D0}} - \sqrt{C_{D10}}} , \quad (31)$$

gde su $C_{D10} = \frac{u_*^2}{U_{10}^2}$ and $C_{D0} = \frac{u_*^2}{U_{z_S}^2}$ koeficijenti trenja i U_{10} and U_{z_S} brzine koje vaze na

visinama $z=10$ m i z_s redom.

Brzina v_{IL} se izracunava kao

$$v_{IL} = G \sqrt{C_{D10}} u_* . \quad (32)$$

Funkcija G [Georgi, 1986] odrazava osobine delica (velicina, sastav) i povrsine na koju se delici deponuju (hrapavost, tekstura, pokrivenost tla). G se izracunava pomocu

$$G = \frac{B_{St}}{\sqrt{C_{D0}}} , \quad (33)$$

gde je B_{St} Stanton-ov broj za delice prasine. U isto vreme, G se predstavlja kao zbir doprinosa od Braunovog mesanja, intercepcije and impakcije [Slinn, 1982]:

$$G = G_{BD} + G_{int} + G_{imp} . \quad (34)$$

G je razlicito za dva razlicita rezima strujanja: prvi, za povrsine sa uslovima koji se krecu od glatkih do hrapavih, i drugi, za povrsine pokrivenе vegetacijom.

Prva vrsta povrsina uklucuje more, golo zemljiste i led, za koje se uzima $f_{B0} = 1$.

Iznad ovih povrsina, parametri $\frac{1}{\sqrt{C_{D0}}}$ i G su odredjeni izrazima prikazanim u Tabeli 5.

[Georgi, 1986]. Ovde je $St = \frac{v_g u_*^2}{vg}$ Stokes-ov broj, a brzina gravitatione depozicije na najnizem nivou modela je definisana sa

$$(v_{gk}) = \frac{2g\rho_{pk} R_k^2}{9\nu} . \quad (35)$$

$g = 9.8 m s^{-1}$ je gravitaciono ubrzanje, R_k i ρ_{pk} su poluprecnik i gustina k -te klase velicine delica, kao sto je dato u Tabeli 3.

Jednacine (30) - (35) i Tabele 3 i 5 potpuno određuju depozicionu brzinu v_{dep} .

Za povrsine pokrivenе vegetacijom, parametri i konstante koje se tu koriste su prikazane u Tabeli 6. Iznad povrsina sa vegetacijom, Georgi [1986] definise

$$G = \sqrt{\frac{\eta}{c_{dm}}} , \quad (36)$$

Ovde je c_{dm} lokalni koeficient trrenja koji zavisi od m razlicitih vrsta vegetacija (videti Tabelu 6.) i od η - efikasnosti biljnog pokrivaca da sakuplja delice. Efikasnost sakupljanja se aproksimira sa

$$\eta = \eta_{BD} + \eta_{int} + \eta_{imp} + \eta_s . \quad (37)$$

Indeksi u formuli označavaju Braunovo mesanje, zadrzavanje, sabijanje i prikupljanje na malim prerekama na tlu, redom.

Parametar efikasnosti prikupljanja za Braunovo mesanje je dat sa

$$\eta_{BD} = c_{vm} Sc^{-1.3}, \quad (38)$$

gde lokalni koeficijent viskoznog trenja c_{vm} zavisi od m razlicitih tipova vegetacije (videti Tabelu 6.).

Parametar efikasnosti prikupljanja kod zadrzavanja zavisi od velicine delica k i odredjen je sa

$$\eta_{int} = \frac{F_k^2}{a}, \quad (39)$$

gde je $F_k = \frac{R_k}{a}$, R_k je poluprecnik k -te klase delica, i $a = 0.5 \text{ mm}$ je srednji radius prepreke.

Parametar efikasnosti prikupljanja zadrzavanjem na malim vegetacionim elementima je definisan sa

$$\eta_s = A_{sm} F_{sk} \ln(1 + F_{sk}), \quad (40)$$

gde su $F_{sk} = \frac{R_k}{a_s}$, $a_s = 10 \mu\text{m}$. Faktor A_{sm} je odnos izmedju povrsine malih ‘sakupljaca’ i povrsine hrapavih elemenata koji zavise od razlicitih vegetacionih tipova m (videti Tabelu 6).

Konacno, parametar efikasnosti prikupljanja sabijanjem se aproksimira sa

$$\eta_{imp} = \frac{St_a^{3.2}}{(St_a + 0.6)^{3.2}}, \quad (41)$$

gde je $St_a = \frac{v_g u_*}{ga}$ Stanton-ov broj iznad vegetacije.

Za depoziciju iznad vegetacije koristi se $f_{BO} = \frac{1}{e^{\sqrt{St_a}}}$. Parametar $\left(\frac{1}{\sqrt{C_{D0}}}\right)_m$ koji zavisi od tipa vegetacije m je odredjen vrednostima u Tabeli 6.

Najzad, pomocu (38) - (41) i (37), izvodi se sledeci izraz:

$$\eta = c_v Sc^{-1.3} + \frac{F^2}{2} + \frac{St_a^{3.2}}{(St_a + 0.6)^{3.2}} + A_s F_s \ln(1 + F_s). \quad (42)$$

Pomocu (31) – (42), brzina suve depozicije v_{dep} (30) je potpuno podredjena. Na kraju, doprinos suve depozicije clanu ‘ponora’ u jednacini (1) je izracunat sa

$$\left(\frac{\partial C}{\partial t}\right)_{SINKddep} = -\left(\frac{C v_{dep}}{\Delta z}\right)^{LM}. \quad (43)$$

Vlazna depozicija

Vlazna depozicija koncentracije se izracunava pomocu kisne vode prognozirane atmosferskim delom modela. U svakoj tacki modela, promena koncentracije sa vremenom je predstavljena sa

$$\left(\frac{\partial C}{\partial t}\right) = -\phi \frac{\partial}{\partial z} \left(C \frac{\partial P}{\partial t}\right), \quad (44)$$

Ovde je $\frac{\partial P}{\partial t}$ intenzitet padavina, a koeficient spiranje se smatra konstantnim, tj. $\phi = 5 \times 10^5$. Depozicija na tlu je izracunata sa

$$\left(\frac{\partial C}{\partial t} \right)_{SINKwdep} = -\phi \left(\frac{C}{\Delta z} \frac{\partial P}{\partial t} \right)^{LM}. \quad (45)$$

Horizontalna advekcija

Numericka sema za advekciju pasivne materije u NCEP/Eta modelu [Janjic, 1997] je konzervativna, odrzva funkciju koja se advektira pozitivnom, i ne proizvodi nove maksimume. To su osobine seme koje upravo zahteva advekcija koncentracije, s obzirom da koncentracija mora uvek da bude pozitivna. Aproksimacija clana advekcije u obliku konacnih razlika se primenjuje na clanove oblika

$$\left(\frac{\partial C}{\partial t} \right)_{hadv} = -u \frac{\partial C}{\partial x} - v \frac{\partial C}{\partial y}. \quad (46)$$

U prvom koraku seme, primenjuje se uzvodna aproksimacija prvog reda tacnosti. U drugom koraku, anti-difuzioni clan kontrolise iznos difuzije. U jednodimenzionom obliku, advekcija se opisuje sledecom diskretizovanom jednacinom:

$$C_j^{n+1} = C_j^n - \mu \frac{C_j^n - C_{j-1}^n}{\Delta x} - \frac{1}{3} \mu (C_{j-1}^n - 2C_j^n + C_{j+1}^n) \quad (47)$$

Ovde j označava indeks mreže tacaka, n vremenski korak, $\mu = c \frac{\Delta t}{\Delta x}$ je Courantov broj c je brzina advekcije (koja se u ovom razmatranju smatra konstantom), a Δx i Δt su koraci u prostoru i vremenu, redom.

Vertikalna advekcija

Konvencionalne numercke za advekciju mogu da negativne vrednosti inace pozitivnih velicina kao sto je koncentracija. Efektivna vertikalna brzina u izracunavanju vertikalne advekcije je algebarski zbir prognozirane atmosferske vertikalne brzine i brzine:

$$W = w - v_g \quad (48)$$

Ovde je gravitaciona brzina v_g izracunate prema Stokes-ovoj formuli:

$$v_{gk} = \frac{2g\rho_{pk} R_k^2}{9\nu} \quad (49)$$

gde je ρ_{pk} gustina delica, R_k poluprecnik delica, ν viskoznost vazduha, i g gravitaciono ubrzanje.

Vertikalna difuzija

U NCEP/Eta modelu, Kolmogorov-Heisenbergova sema turbulentnog zatvaranja se primenjuje [Janjic, 1990; Janjic, 1994; Janjic, 1996b]. Kao rezultat, izracunavaju se koeficienti vertikalnog turbulentnog mesanja koji se dalje koriste da bi se izracunala vertikalna difuzija prognostickih parametara, uključujici i koncentraciju prasine:

$$\left(\frac{\partial C}{\partial t} \right)_{vdif} = - \frac{\partial}{\partial z} \left(K_z \frac{\partial C}{\partial z} \right) \quad (50)$$

Bocna difuzija

Clan bocne difuzije u (1)

$$\left(\frac{\partial C}{\partial t} \right)_{ldif} = - \nabla (K_z \nabla C) \quad (51)$$

se parametruje koriscenjem metoda Smagorinskog gde se koeficijent bocne difuzije modifikovan ukljucivanjem uticaja turbulentne kineticke energije (TKE) [Janjic, 1990] koristi u obliku:

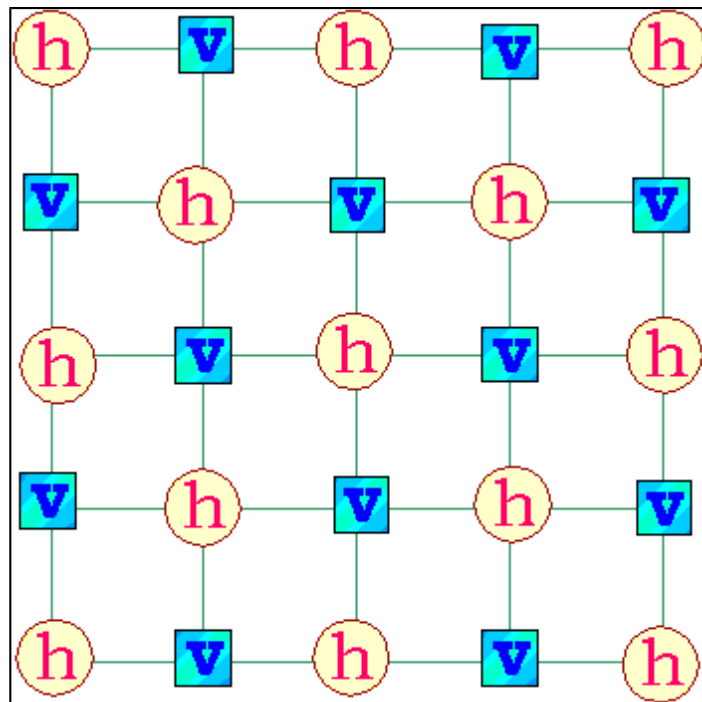
$$K_H = F d_{\min} \sqrt{2(\Delta_x u - \Delta_y v)^2 + 2(\Delta_x u + \Delta_y v)^2 + F' TKE} \quad (52)$$

Ovde su F i F' empirijske konstante, d_{\min} je najmanja velicina horizontalnog koraka mreze, a operator Δ označava konacne razlike racunate u pravcima kako to indeksi označavaju.

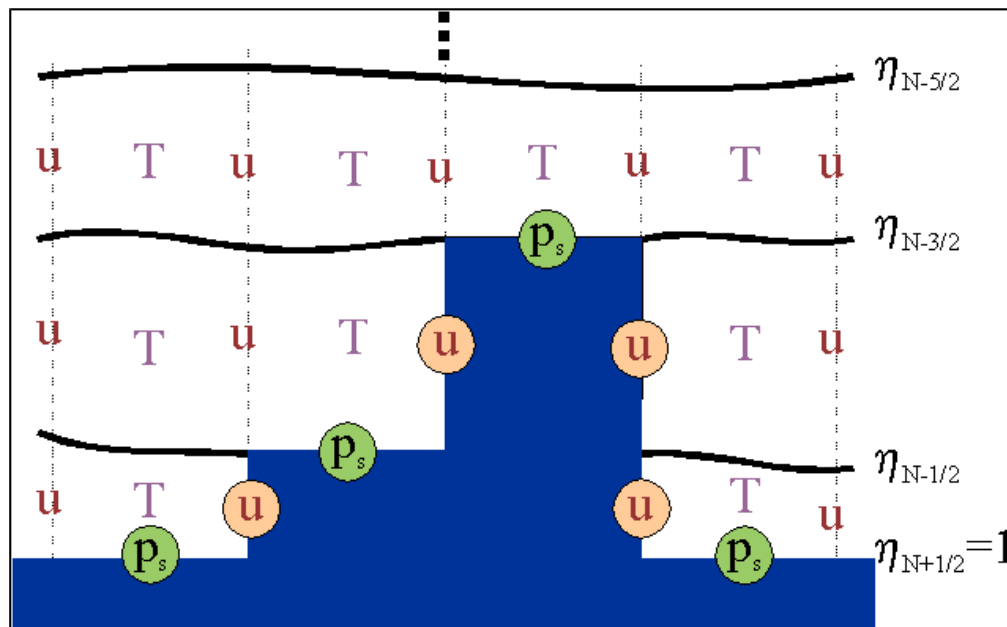
OPERATIVNA POSTAVKA EKSPERIMENTA

Kao sto je vec pomenuto, DREAM model predstavlja u tehnickom smislu, jedan od potprograma atmosferskog NCEP/Eta modela. (Janjic 1974, 1979, 1984, 1990, 1994; Janjic et al. 1988; Mesinger et al. 1988) U svom dinamickom i fizickom delu, NCEP/Eta koristi sledeća numericka resenja:

- polu-razmaknutu E mrezu kombinovanu sa metodom za sprecavanje resenja na dve podmereze (videti sliku 5);
- ekonomicnu semu rasceplivanja u vremenu; semu za horizontalnu advekciju koja odrzava integralne osobine atmosfere (kvadrat vrtloznosti, kineticku energiju, masu, itd.).
- ‘eta’ vertikalni koordinatni sistem i odgovarajuce stepenicasto predstavljanje topografije u modelu (videti sliku 6);
- pozitivnu definitnu semu za horizontalnu advekciju pasivnih supstanci; nelinernu semu za bocnu difuziju; semu za kontrolu divergencije;
- semu za fiziku povrsinskih procesa u i na zemljistu;
- seme za prizemnu i turbulenciju u slobodnoj atmosferi;
- seme za padavine kovektivnih i velikih razmera
- semu za fiziku suncevog zracenja u atmosferi.



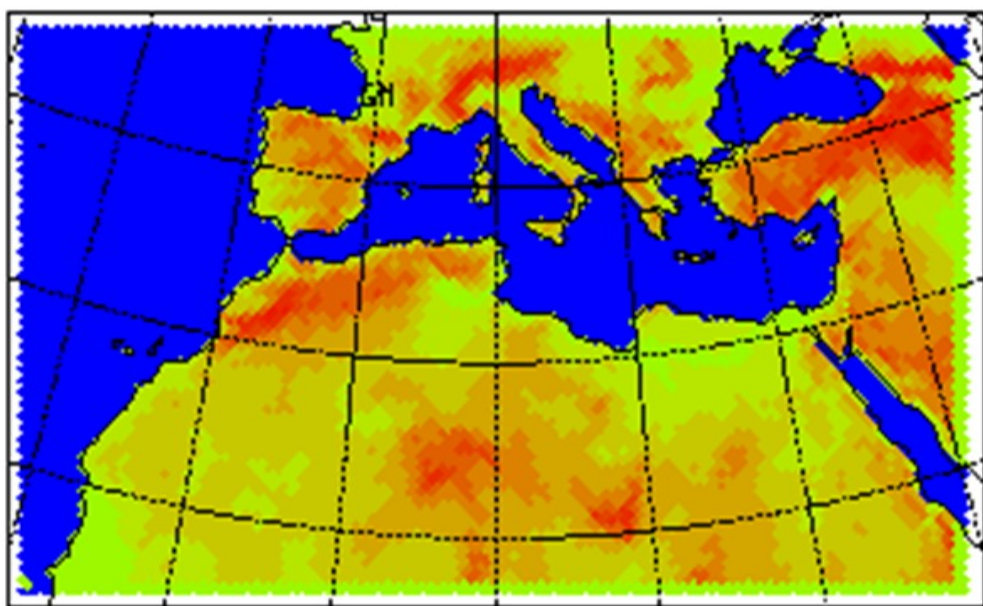
Slika 5. Sematski prikaz horizontalne mreže modela



Slika ?6. Sematski prikaz topografije modela

U eksperimentu cije cemo rezultate kasnije analizirati, izracunate su 24-casovne prognoze vremena i koncentracije prasine pomocu NCEP/Eta I DREAM modela u periodu 1. januar – 31. decembar 2002. Modeli su kao ulazne podatke koristili prognosticke podatke globalnog modela NCEP, Washington, takozvane WAFFS podatke

sa razlaganjem od oko 1 stepena u Mediteranu. NCEP podaci su korisceni za odredjivanje pocetnih i granicnih uslova atmosferskog modela. Novi pocetni i granicni uslovi su uvodjeni svakih 24 casa. S obzirom da operativna merenja koncentracije pustinske prasine ne postoje kao sto je to slucaj sa atmosferskim parametrima, za inicijalizaciju koncentracije u modelu je korisena njena 24-casovna prognoza iz prethodnog dana. Oba modela koriste 24 racunska sloja u vertikalnom pravcu do visine od oko 16 km, kao i horizontalno raslaganje od oko 45 kilometra. Oblast modela pokriva Mediteran i okolna područja, kao sto je to pokazano na slici 7.



Slika 7. Oblast i topografija modela

ANALIZA REZULTATA

Model DREAM je prognozirao/simulirao produkciju, transport i depoziciju Saharske prasine i peska tokom 2002. godine. Zbog nedostatka ulaznih meteoroloskih podataka ili drugih razloga, oko 10% slicajeva nije prognozirano. Procenat nedostajucih slucajeva prognoze je trakov da se klimatoloska analiza moze realizovati i izvesti odgovarajuci statisticki proracuni bez znacajnijeg uticaja na konacni rezultat.

Tokom jednogodisnjeg perioda, arhivirana su sledeca polja iz DREAM modela za svaku 24-casovnu prognozu radi njihove naknadne analize:

- 3-dimenzionalna koncentracija aerosola ($\mu\text{g m}^{-3}$)
- 2-dimenzionalni dust load (DL)– masa aerosola u vertikalnom stubu vazduha po jedinici povrsine (g m^{-2})
- 2-dimenzionalna suva depozicija aerosola (mg m^{-2})
- 2-dimenzionalna vlastna depozicija aerosola (mg m^{-2})

Podaci su arhivirani u originalnim tackama trodimenzionalne mreze DREAM modela. Cilj analize ovih podataka je da se odredi vremenska i prostorna promenljivost parametara aerosola i njihova sezonska varijacija, posvećujući pritom posebnu pažnju raspodeli ovih parametara iznad područja Crne Gore. Zbog nedostatka sistematskih operativnih merenja mineralnog aerosola (nasuprot ustanovljenoj praksi rutinskih merenja atmosferskih parametara), danas se još uvek ne može pouzdano i kvalitativno utvrditi kolicina pustinjskog aeroela koja se transportuje i deponuje izvan oblasti pustinja. Rezultati modeliranja dobiveni u ovoj studiji bar delimično mogu pružiti informaciju o kumulativnim, klimatskim efektima pustinjskog aerosola. Tokom visegodišnje operativne upotrebe DREAM modela (http://www.icod.org.mt/modeling/forecasts/dust_med.htm) i sistematskim poređenjem njegovih rezultata sa satelitskim podacima SeaWiFS, demonstrirana je njegova sposobnost da uspesno prognozira opticku dubinu aerosola u vecini slučajeva pustinjskih nepogoda i transporta velikih razmara. Ova cinjenica ukazuje da se i ostale vrednosti, kao sto je depozicija i prizemna koncentracija za koje ne postoje sistematska merenja, mogu prihvati kao dovoljno pouzdani parametri za klimatsko analiziranje.

U tom kontekstu, formiran je katalog mapa koji čine slučajevi povecanog DL sa vrednoscu većom od 0.05 g m^{-2} iznad područja Crne Gore (**KATALOG A: Slučajevi povecanog DL**; videti Prilog).. Broj takvih slučajeva je naveden u tabeli 4. Ukupan broj takvih dana je 88, što znači da se 'oblak' pustinjskog aerosola javlja prosečno svaki cetvrti dan tokom 2002. godine. Najveći broj takvih dana javlja se prolećnom i letnjem periodu.

Tabela 4. Broj dana sa povecanim DL iznad Crne Gore

MESEC	JAN	FEB	MAR	APR	MAJ	JUN	JUL	AVG	SEP	OKT	NOV	DEC
-------	-----	-----	-----	-----	-----	-----	-----	-----	-----	-----	-----	-----

BROJ DANA	0	4	15	12	22	7	11	8	6	3	0	0
----------------------	---	---	----	----	----	---	----	---	---	---	---	---

Kriterijum za izbor slučajeva povećane koncentracije u tabeli 4. je koriscen kod formiranja priloga KATALOG A. Svaki slučaj takve prognoze je uporedjen sa satelitskim SeaWiFS kartama (<http://seawifs.gsfc.nasa.gov/SEAWIFS.html>). SeaWiFS podaci mogu jasno da ukazu prisustvo pustinjskog aerosola iznad morske povrsine, s obzirom da je boja aerosola znatno svetlijia od tamne podloge mora. Iznad kopna, gde su albedo aerosola i podloge slični, detekcija aerosola nije moguća. Takodje, prisustvo oblaknosti onemogućuje da se arorol prepozna. U Katalogu nedostaje 9 prognoza izabreanih po navedenom kriterijumu jer za takve slučajeve nisu bili raspolozivi SeaWiFS podaci. Pazljivim uporedjivanjem prikazanih mapa može se zaključiti da je oblik, vreme i prostorna raspodela prognoziranog DL u najvećem broju slučajeva jako dobroj saglasnosti sa satelitskim podacima.

U periodu od 16. do 19. februara, dogodio se slučaj slabijeg transporta pustinjskog aerosola koji se karakterise relativno slabim vrednostima dust load-a. Izvoriste ovih koncentracija je bilo u zapadnom delu Sahare a transport velikih razmera je imao osu jugozapad-severoistok.

Tokom perioda 3-17. marta osmotrena je i prognozirana povećana aktivnost produkcija pustinjskog aerosola. 3. marta se može uociti izuzetno jak intenzitet transportovanih koncentracija u zapadnom i centralnom Mediteranu. Maksimum koncentracije (3-6 mart) je lociran južnije od Crne Gore, iznad koje DL ne prelazi vrednosti 0.3 g m^{-2} . Od 5-10. marta se javlja druga pustinjska nepogoda cije je izvoriste locirano u Libiji. Strujanje u atmosferi je u ovom periodu takvo da donosi vecu kolicinu aerosola iznad Crne Gore nego u prethodnom periodu; DL dostize vrednosti do 0.3 g m^{-2} . U periodu 11-14 mart dolazi do odsecanja koncentracije na visini i njenog odrzavanja u istocnom Mediteranu, odrzavajući u isto vreme povećane vrednosti dust load-a u Crnoj Gori ($0.3-0.75 \text{ g m}^{-2}$). 15. marta nastaje treca pescana nepogoda u Libiji, koja odrzava povećane koncentracije u centralnom Mediteranu a DL dostize vrednosti do 1 g m^{-2} iznad Crne Gore.

U drugoj trecini aprila 2002. osmotren je pescana nepogoda sa spektakularnom velikom kolicinom produkovanog i transportovanog pustinjskog aerosola u Mediteran.

Poreklo prasine i peska je bilo u istocnom delu Sahare (11. april) i centralnoj Sahari (14. april). Tokom celog perioda do 21 aprila, podrucje Crne Gore je bilo izlozeno povecanim vrednostima DL narocito u periodu 13-15. aprila kada DL dostize vrednosti do 4.5 g m^{-2} . Maksimalne vrednosti DL se krecu iznad 7 g m^{-2} sto sto se smatra jako visokom vrednoscu. Spektakularnost ovog slucaja je privukla paznju naucne javnosti i slucaj je detaljno analiziran od strane nekoliko istrazivackih grupa (npr. Projekti EU ADIOS i EARLINET). U sledecem poglavlju cemo pokazati neke rezultate naseg istrazivanja ovog slucaja.

Citav period od 4-28 maja se karakterise povecanim koncentracijama nad podrucjem Crne Gore. Tokom perioda, nekoliko uzastopnih prasinskih oluja se dogodilo iznad zapadne i centralne Sahare, a aerosol transportovan preovladujujucim jugozapadnim i juznim strujanjem u slobodnoj atmosferi. Period 9-13 maj se karakterise vrednostima DL vecim od 1.5 g m^{-2} iznad Crne Gore.

U prvoj dekadi juna 2002 kao i na kraju ovog meseca postoji nesto povecana vrednost DL iznad Crne Gore koja ne prelazi vrednosti od oko 1 g m^{-2} koji je posledica umeriene aktivnosti produkcije Saharskog aerosola. U julu, avgustu i septembru 2002, podrucje Crne Gore je pod umerenim uticajem pustinjskog aerosola – posledica jugozapadnog transporta tokom speradicne aktivnosti Sahare. U prvoj polovini oktobra 2002 povecana vrednost DL, neuobicajena za ovo doba godine, dostize vrednost preko 1.5 g m^{-2} iznad Crne Gore 10-tog oktobra.

U novembru i decembru je izostala pojava povecanog DL iznad Crne Gore.

KATALOG B: Dnevna suva i vlagzna depozicija, i 10m koncentracija (videti Prilog) sadrzi dodatne informacije o prisustvu mineralnog aerosoloa – prognozu prostorne raspodele depozicije i prizemne koncentracije. Pazljivom analizom prilozenih mapa uocava se ocekivan povezanost parametara depozicije i koncentracije sa vrednostima DL iz Kataloga A. Vece vrednosti suve depozicije i 10m koncentracije se mogu ocekivati kada se dugorocni transport odvija na manjoj visini iznad Crne Gore. Nasuprot tome, vlagzna depozicije je direktno povezana sa pojmom padavina i njeno sporadicno dogadjanje sa vrednostima koje prevazilaze nekoliko puta vrednost suve depozicije moze se uociti na mapama Kataloga.

KATALOG C: Mesecna klimatologija parametara mineralnog aerosola u 2002. (vidi Prilog) sadrzi izracunate srednje mesecne vrednosti suve depozicije, vlasne depozicije, 10m koncentracije i DL za podrucje Mediterana. Prikazana mesecna klimatologija ukazuje na znacajnu sezonsku varijabilnost produkcije, transporta i depozicije mineralnog aerosola. Ovo je svakako direktno povezano sa klimatskim karakteristikama atmosferskih procesa u Mediteranu koji uticu na sve faze zivotnog ciklusa aerosola u atmosferi. Podrucje Crne Gore ne trpi znacajan uticaj aerosola u januaru, februaru, avgustu, septembru, oktobru i decembru. Najvece vrednosti prikazanih parametara dogadjaju se u martu, aprilu i maju. Vlasna depozicija koja je direktno korelisana sa padavinama prati sezonsku varijabilnost kise u Crnoj Gori i ima najvece vrednosti u martu, aprilu, maju i novembru.

ZAKLJUCI

Procena mogucih efekata povecane koncentracije na zdravlje stanovnistva

Nivo mineralnog aerosola suspendovanog u prizemnoj atmosferi moze imati uticaj na ljudsko zdravljie, atmosfersku vidljivost i klimu odredjenog područja.

Za takvu procenu neophodno je raspolagati informacijom kakvi su pragovi vrednosti koncentracije, koji, ako se prevaziđu, mogu da uticu na ljudsko zdravljie. U tom cilju, korisno je znati kakvi su standardi preporuceni u tom smislu u zemljama razvijelog sveta. U poslednjoj dekadi, mnoge drzave uvode standarde o kvalitetu vazduha (National Air Quality Standards), podstaknute epidemioloskim podacima i studijama koje ukazuju na tesnu vezu izmedju aerosola i zdravstvenih efekata (npr. Dockery and Pope, 1996). Evropska komisija je nedavno usvojila novu direktivu o kvalitetu vazduha, Air Quality Directive (Directive 1999/30/EC) koja nalaze da vrednost PM10 (aerosol manji od 10 mikrona) do 2010. ne moze da prelazi $20 \mu\text{gPM10}/\text{m}^3$ kao godisnja srednja vrednost i $50 \mu\text{gPM10}/\text{m}^3$ kao dnevna vrednost u trajanju od 7 uzastopnih dana. U medjuvremenu (2005 do 2010), označeni pragovi su $40 \mu\text{gPM10}/\text{m}^3$ za godisnju srednju vrednost i $50 \mu\text{gPM10}/\text{m}^3$ tokom 35 dana godisnje).

Da bismo uporedili vrednosti koje su prognozirane u ovoj Studiji sa preporucenim standardima, formiran je **KATALOG D: Dnevna depozicija i 10m koncentracija**

aerosola u gradovima Crne Gore (videti Prilog) koji sadrzi dnevne vrednosti ova dva prognozirana parametra za devet izabralih lokacija Crne Gore. Izabrane lokacije su:

- Bar,
- Berane,
- Cetinje,
- Herceg Novi,
- Kolasin,
- Niksic,
- Pljevlja,
- Podgorica i
- Zabljak.

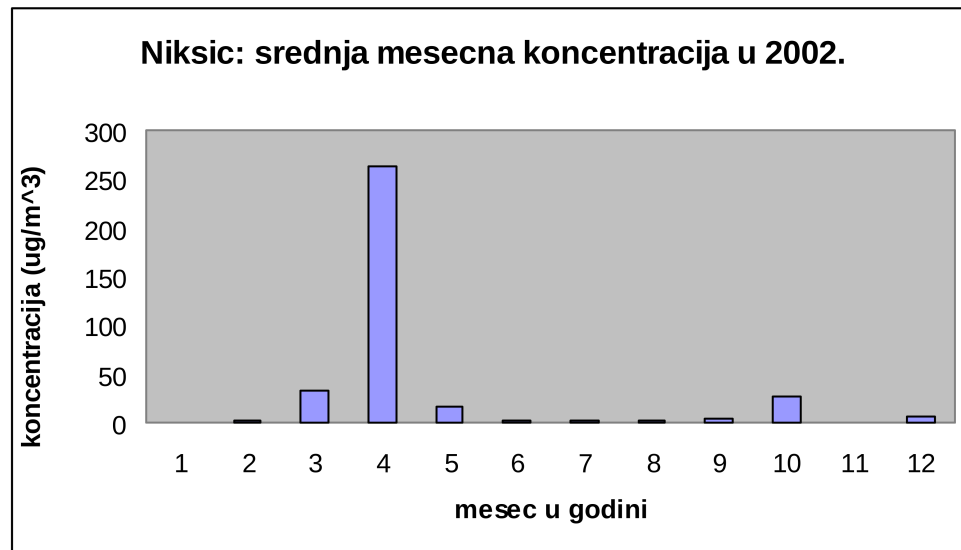
Prikazane vrednosti potvrđuju veliku dnevnu, i u izvesnoj meri prostornu, varijabilnost depozicije i koncentracije u navedenim lokacijama. Relativno mala prostorna varijabilnost vrednosti za odredjeni datum povezana je sa malom distancicom izmedju izabralih lokacija. Uocena sporadicnost i trajanje slucajeva sa povecanim vrednostima ovih parametara je svakako povezano sa karakteristikama transporta i depozicije velikih razmara ilustrovano podacima u Katalozima A, B i C.

Mesecni maksimumi i koncentracije variraju od 20 do 7000 mg/m³ za depoziciju, odnosno od 10 do 2000 za koncentraciju. µg/m³. Prema tome, u odredjenim situacijama, prizemna koncentracija vistruko prevazi lazi stetnu vrednost od 20 µg/m³. Ovde je svakako vazno odrediti duzinu trajanja takvih perioda. Naime, sporadicne pojave visoke koncentracije ne moraju biti opasne za zdravlje ukoliko su kratkotrajne.

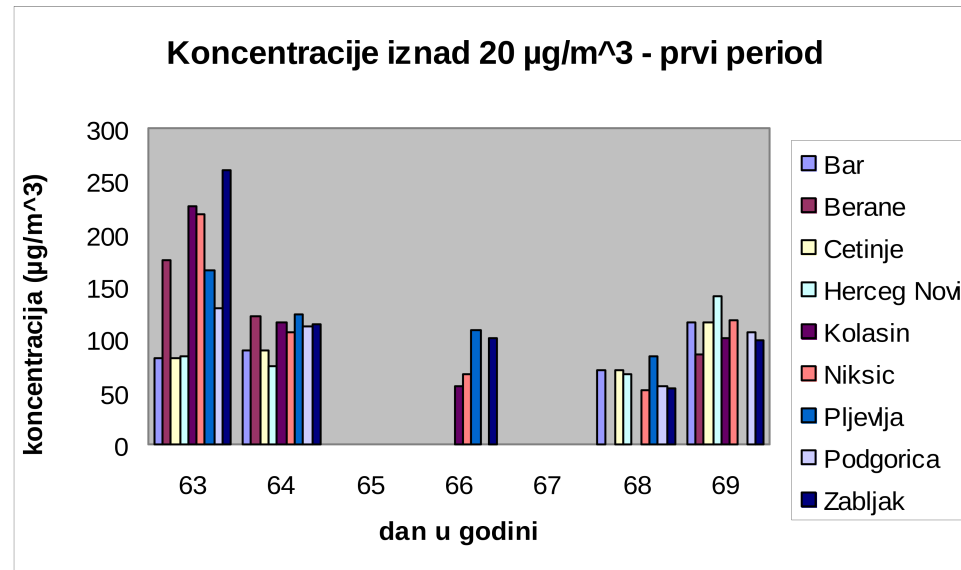
Analizom podataka modela, ustanovili smo da je u Niksicu postignut absolutni maksimum za prizemnu koncentraciju u poredjenju sa presotralih 8 lokacija. Naime, 9. aprila 2002., 10m koncentracija je u Niksicu iznosila 7042 µg/m³. April je inace i mesec sa znatno povecanom srednjom mesecnom koncentracijom od 263 µg/m³ u Niksicu (slika 8.), vrednost koja je oko 5 puta veca nego sto je preporuceni standard EU u periodu 2005-2010. Nesto nize vrednosti simulirane su za ostale lokacije u Crnoj Gori.

Maj, juni i oktobar su meseci kada su za Niksic simulirane nesto povecane srednje mesecne koncentracije (32, 16, 27 µg/m³ redom), koje su ispod preporucenog praga

prema standardu EU. Sljedeće 9a-9d prikazuju vrednosti prizemne koncentracije za izabrane 9 lokacije u ova četiri perioda kada koncentracija prelazi $20 \mu\text{g}/\text{m}^3$. Preostali meseci (januar, februar, juli, avgust, septembar, novembar i decembar) imaju vrednosti srednje mesecne prizemne koncentracije koja ne prelazi vrednost od $2 \mu\text{g}/\text{m}^3$.



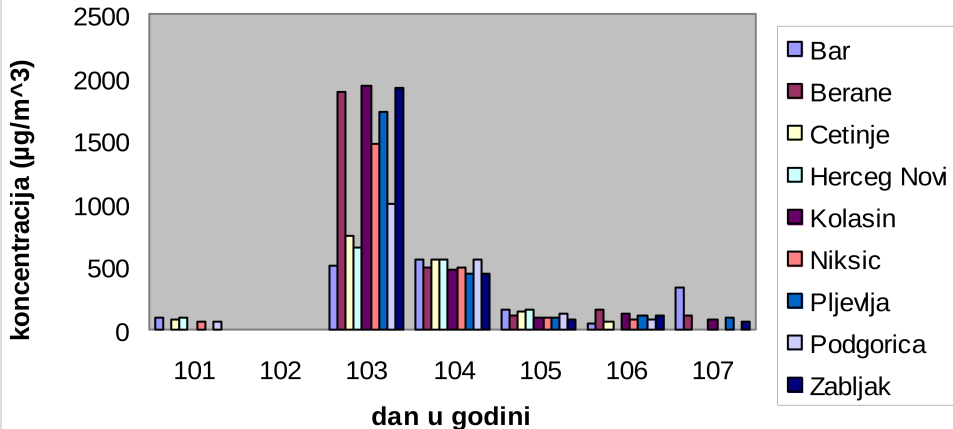
Slika 8. Srednja mesecna koncentracija Niksicu u periodu 2002.



Slika

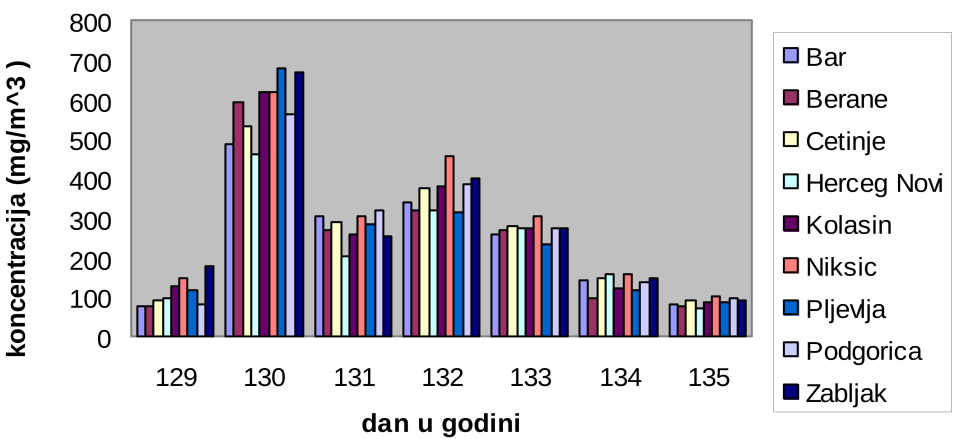
Slika 9a. Dnevne koncentracije iznad $20 \mu\text{g}/\text{m}^3$ – prvi period

Koncentracije iznad $20 \mu\text{g}/\text{m}^3$ - drugi period

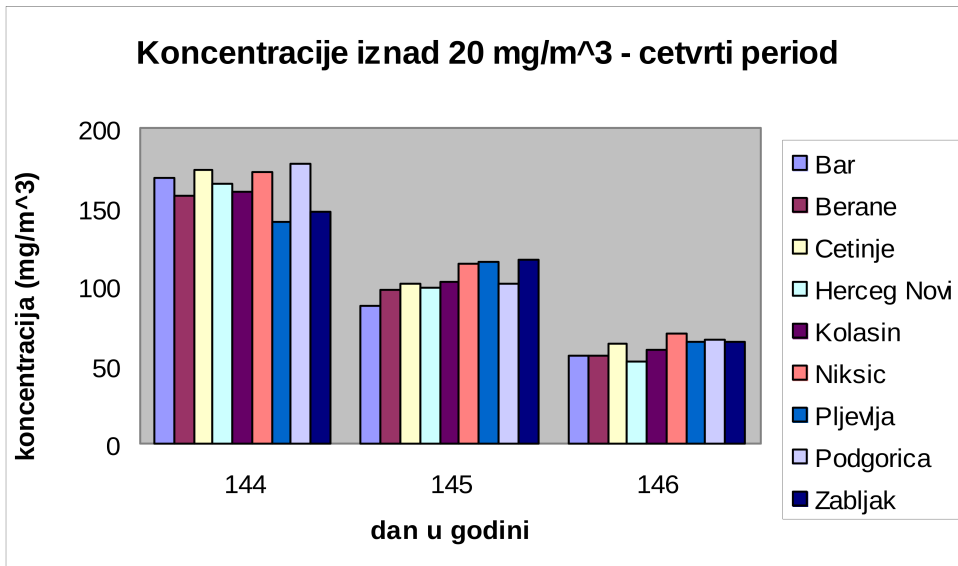


Slika 9b. Dnevne koncentracije iznad $20 \mu\text{g}/\text{m}^3$ – drugi period

Koncentracije iznad $20 \text{ mg}/\text{m}^3$ - treci period



Slika 9c. Dnevne koncentracije iznad $20 \mu\text{g}/\text{m}^3$ – treci period



Slika 9d. Dnevne koncentracije iznad 20 ug/m³ – cetvrti period

Moze se stoga zaključiti da je samo u jednom mesecu bilo zнатно povecane koncentracije u periodu od oko 6 dana koja je mogla da bude stetna po zdravlje populacije Crne Gore. U preostalom periodu godine, sporadicne pojave povecane koncentracije u mesecnom proseku nisu bile opasne po zdravlje.

Procena mogucih efekata povecane depozicije na sastav tla i biohemiju mora

Kao sto je pomenuto na pocetku Studije, nakon deponiranja na povrsinu mora i kopna, prasina i jedinjenja gvozdja i fosfora koje sadrzi, mogu da dovedu do odredjenih promena u ovim prirodnim sredinama. U moru, depozicija moze da inicira biohemijiski process (Martin i Fitzwater, 1998), koji rezultira u ‘cvetanju’ mora (razvoj algi). Skorasnje studije (npr. Erickson, D., J. Hernandez, J. et al., 2001) ukazuju na postojanje korelacije izmedju depozicije mineralnog pustinjskog aerosola i boje mora. Nasi podaci pokazuju, kao i pre, da je depozicija bila najveca tokom aprila 2002. kada je u primorskoj lokaciji Bar dostigla vrednost 0.55 g/m³ u toku jednog dana (10. april) odnosto srednju mesecnu vrednost od 71 mg/m³. Takvi periodi generalno pogoduju razvoju planktona ako su drugi uslovi (temperatura mora, slanost, turbulentno mesanje) za njihov rast ispunjeni.

Depozicia mineralnog aerosola koji je bogat feratima, nitratima i sulfatima se smatra fertilizatorom zemljista na koje se deponuje. Na kopnu, maksimum prosekne mesecne depozicije postignut je aprila meseca u Zabljaku (86 mg/m^3).

Procena mogucih efekata smanjene opticke dubine na termicko stanje atmosfere

Indikaciju o mogucim efektima smanjivanja opticke dubine zbog prisustva aerosol adaje parametar DL – ukupna masa aerosola u stubu atmosfere po jedinici povrsine. Aerosol iznad kopna slicno utice na termicko stanje atmosfere kao i oblakost. Naime, zbog vece refleksivnosti u odnosu na kopnu, aerosol ne dopusta da sunceva energija u potpunosti dospe na povrsinu zemlje. Postavlja se pitanje u kom iznosu prizemna temperatura moze da se promeni u prisustvu 'oblaka' mineralnog aerosola. Detaljne studije o ovim efektima jos uvek nedostaju ili su nepotpune u naučnoj javnosti danas, kao sto je to konstatovano u poslednjem izvestaju IPCC. Nasa nedavna istrazivanja termickih efekata aerosola na atmosferu pokazuju da u slucaju jakih pustinjskih nepogoda dolazi do promene u vertikalnom profilu temperature kada vrednost DL prevazilazi 10 g/m^2 . Pritom, najvece promene se dogadjaju u prizemnom delu atmosfere gde temperatura moze da se smanji i do 5°C . Nasa prethodna analiza pokazuje da je najvece prisustvo Saharskog aerosola bilo u prvoj polovini aprila 2002. U tom periodu apsolutni maksimum DL od 5.7 g/m^2 je simuliran iznad Herceg Novog. Uzimajuci u obzir rezultate nasih nedavnih istrazivanja, moze se pretpostaviti da tokom takvih perioda temperatura u prizemlju moze da opadne za $1-2^\circ \text{C}$.

S obzirom na sporadicni karakter pojave pustinjskog aerosola iznad Crne Gore, znacajnija promena dnevnih atmosferskih uslova se ne moze ocekivati. U klimatskom pogledu, direktan uticaj aerosola moze da se ocekuje pre svega u prolećnom delu godine kada dolazi do znacajnijeg transporta aerosola. Kvantifikovanje klimatskih efekata je danas jos uvek nemoguce izvesti na precizniji nacin jer danasjni atmosferski, radijacioni i aerosolni modeli nisu jos uvek interaktivno povezani. Takva istrazivanja su u pripremi ili u toku (npr. Nickovic 2003).

Ova studija, koristeci rezultate jednogodisnjeg eksperimenta izvedenih modelom za prognozu pustinjskog aerosola DREAM, pokazuje sledeće:

- Da je CRNA GORA izlozena povremenom uticaju Saharskog peska i prasine transportovanog preko velikih distanci
- Da je najveca aktivnost aerosola tokom prolecnih, i nesto manje, tokom letnjih meseci, sto se odrazava u mesecnoj klimatologiji svih analiziranih parametara
- Da je transport prema Crnoj Gori posledica sporadicnih pescanih oluja cije je izvoriste u zapadnoj i centralnoj Sahari
- Da postoji velika dnevna vremenska variabilnost parametara aerorola
- Da ne posotoji znatna dnevna prostorna promenljivost aerosola s obzirom da je rastojanje crnogorskih lokacija manje nego sto su kontinntakne razmere procesa transporta aerosola
- Da u slucajevima jakih pescanih oluja i pogodnog atmosferske cirkulacije moze doci do povecanja koncentracije u Crnoj Gori koja prevazilazi danas prihvacene standarde o kvalitetu vazduha, i time uticati na zdravlje populacije. U periodu koji je analiziran u studiji, jedan takav slucaj visednevnom jakog uticaja aerosola je prognoziran.
- Da je depozicija na kopnu i moru Crne Gore takva da tokom prolecnog perioda moze uticati na biologiju mora i kvalitet zemljista
- Da je uticaj Saharskog aerosola u Crnoj Gori takav da moze da izazove odredjenu promenu termicke strukture atmosfere i snizi temperaturu za 1-2 stepena tokom slucajeva jakog transporta

Model DREAM, koji prema zadacima Projekta treba da se operativno implementira u Hidrometeoroloskom zavodu Crne Gore, moze da na osnovu rezultata ove studije da se uspesno koristi za ranu najavu/prognozu transporta i depozicije iznad područja Crne Gore.

REFERENCE

- Alfaro, S. C., A. Gaudichet, L. Gomes, and M. Maille, Modeling the size distribution of a soil aerosol produced by sandblasting, *J. Geophys. Res.*, 102, 11239-11249, 1997.
- Andreae, M. O., Raising dust in the greenhouse, *Nature*, 380, 389-340, 1996.
- Arakawa, A., Computational design for long-term numerical integration of the equations of fluid motion: Two dimensional incompressible flow. Part I, *J. Comp. Phys.* 1, 119-143, 1966.
- Arao, K. and C. Sakaguchi, Yellow Sand Events Measured by an Optical Particle Counter at Nagasaki University in 1996-1998 (in Japanese), *J. Environ. Studies*, Nagasaki University, 1, pp.175-186, 1999.
- Bagnold, R. A., *The Physics of Blown Sand and Desert Dunes*, 265 pp., Morrow, New York, 1941.
- Beljaars, A. C. M., The parameterization of surface fluxes in large-scale models under free convection, *Q. J. R. Meteorol. Soc.*, 121, 255-270, 1994.
- Betts, A., A new convective adjustment scheme. Part I: Observational and theoretical basis, *Quart. J. Meteorol. Soc.*, 112, 677-693, 1986.
- Businger, J. A., Evaluation of the accuracy with which dry deposition can be measured with current micrometeorological techniques, *J. Clim. Appl. Meteor.*, 25, 1100-1124, 1986.
- Chamberlain, A. C., Roughness length of sea, sand and snow, *Boundary-Layer Meteor.*, 25, 405-409, 1983.
- Chamberlain, A. C., J. A. Garland, and A. C. Wells, Transport of gasses and particles to surfaces with widely spaced roughness elements, *Boundary-Layer Meteor.*, 24, 343-360, 1984.
- Chen F., K. Mitchell, Z. Janjic, and M. Baldwin, Land-surface parameterization in the NCEP Mesoscale Eta Model, *Research Activities in Atmospheric and Oceanic Modelling*, WMO, Geneva, CAS/JSC WGNE, No. 23, 4.4., 1996.
- Corine, 1993, Land cover – Technical Guide. EUR 12585 EN. Commission of the European Communities, Luxemburg.
- Dulac, F., D. Tanre, G. Bergametti, P. Buat-Menard, M. Desbois, and D. Sutton, Assessment of the African airborne dust mass over the western Mediterranean Sea using Meteosat data, *J. Geophys. Res.*, 97, 2489-2506, 1992.
- Dockery, D., Pope, A., 1996. Epidemiology of acute health effects: Summary of time-serie studies. In: Wilson, R., Spengler, J.D. (Eds), *Particles in our air: concentration and health effects*. Cambridge, MA, USA, Harvard University Press, pp. 123-147.
- Dulac, F., C. Moulin, C. E. Lambert, F. Guillard, J. Poitou, W. Guelle, C. R. Quetel, X. Schneider, and U. Ezat, Quantitative remote sensing of African dust transport to the Mediterranean, in *The impact of desert dust across the Mediterranean*, edited by S. Guerzoni and R. Chester, pp. 25-49, Kluwer Academic Publishers, 1996.
- EPA, Global Ecosystem Database, Version 1.0 (on CD ROM). *Documentation Manuel*, EPA Global Change Research Program – NOAA/NGDC Global Change Database Program, USDC, Colorado, 1992.
- Fels, S. B. and M. D. Schwartzkopf, The simplified exchange approximation: A new method for radiative transfer calculations, *J. Atmos. Sci.*, 32, 1475-1488, 1975.
- Fecan, F., B. Marticorena, and G. Bergametti, Parameterization of the increase of the Aeolian erosion threshold wind friction velocity due to soil moisture for arid and semi-arid areas. *Annales Geophysicae*, 17, 194-157, 1999.
- Georgi, F., A particle dry-deposition parameterization scheme for use in tracer transport models, *J. Geophys. Res.* 91, 9794-9806, 1986.
- Gillette, D. A., and R. Passi, Modeling dust emission caused by wind erosion, *J. Geophys. Res.* 93, 14233-14242, 1988.
- Hedin, L. O., and G. E. Likens, Atmospheric dust and acid rain, *Scientific American*, 12, 56-60, 1996.

- Herman, J. R., P. K. Bhartia, O. Torres, C. Hsu, C. Seftor, and E. Celarier, Global distribution of UV-absorbing aerosols from Nimbus-7/TOMS data. *J. Geophys. Res.*, **102**, p. 16,911-16929, 1996.
- Hillel, D., *Introduction to soil physics*, 364pp., Academic Press, New York, 1982.
- Husar, R. B., D. Tratt, D. Jaffe, S. Gasso, T. Gill, N. S. Laulainen, F. Lu, M. Reheis, Y. Chun, D. Westphall, B. N. Holben, C. Geymard, I. McKendry, N. Kuring, G. C. Feldman, C. McClain, R. J. Froulin, J. Merril, D. DuBois, F. Vignola, T. Murayama, N. Sugimoto, S. Nickovic, W. E. Wilson, K. Sassen, B. A. Schichtel, and S. R. Falke, The Asian dust events of April 1998, *J. Geophys. Res.*, this issue.
- Jackson, D. W. T., Potential inertial effects in Aeolian sand transport: preliminary results, *Sedimentary Geology*, **106**, 193-201, 1996.
- Janjic, Z.I., Pressure gradient force and advection scheme used for forecasting with steep and small scale topography, *Contrib. Atm. Phys.*, **50**, 186-199, 1977.
- Janjic, Z.I., Forward-backward scheme modified to prevent two-grid-interval noise and its application in sigma coordinate models, *Contrib. Atm. Phys.*, **52**, 69-84, 1979.
- Janjic, Z.I., Non-linear advection schemes and energy cascade on semi-staggered grids, *Mon. Wea. Rev.*, **112**, 1234-1245, 1984.
- Janjic, Z.I., The step-mountain coordinate: physical package, *Mon. Wea. Rev.*, **118**, 1429-1443, 1990.
- Janjic, Z.I., The Step-mountain Eta Coordinate Model: Further Developments of the Convection, Viscous Sublayer and Turbulence Closure Schemes, *Mon. Wea. Rev.*, **122**, 927-945, 1994.
- Janjic Z.I., The Mellor-Yamada Level 2.5 turbulence closure scheme in the NCEP Eta Model, in: *Research Activities in Atmospheric and Oceanic Modelling*, edited by H. Ritchie WMO, Geneva, CAS/WGNE, 4. pp. 4.15, 1996a.
- Janjic Z.I., The Surface Layer Parameterization in the NCEP Eta Model, in: *Research Activities in Atmospheric and Oceanic Modelling*, edited by H. Ritchie WMO, Geneva, CAS/WGNE, 4. pp. 4.16-4.17, 1996b
- Janjic Z.I., Advection scheme for passive substance in the NCEP Eta Model, in: *Research Activities in Atmospheric and Oceanic Modelling*, edited by H. Ritchie WMO, Geneva, CAS/WGNE, 1997.
- Joussaume, S., Three-dimensional simulations of the atmospheric cycle of desert dust particles using a general circulation model, *J. Geoph. Res.*, **95**, 1909-1941, 1990.
- Kallos, G., Nickovic, A. Papadopoulos, D. Jovic, O. Kakaliagou, N. Misirlis, L. Boukas, N. Mimikou, G. Sakellaridis, J. Papageorgiou, E. Anadranistakis and M. Manousakis, The Regional Weather Forecasting System SKIRON: An Overview, in *Proceedings of Symposium on Regional Weather prediction on Parallel Computer Environments*, ISBN: 960-8468-22-1. Edited by G. Kallos, V. Kotroni and K. Lagouvardos, pp. 109-122, University of Athens, Greece. 1997.
- Kremling, K., and P. Streau, Saharan dust influenced trace element fluxes in deep North Atlantic subtropical waters, *Deep Sea Res.*, **I**, **40**, 1155-1168, 1993.
- Krichak, S.O., M. Tsidulko, P. Alpert, A. Papadopoulos, O. Kakaliagou, and G. Kallos, Eta Weather prediction system with the aerosol production/transport/deposition at TAU, in: *Research Activities in Atmospheric and Oceanic Modelling*, edited by H. Ritchie WMO, Geneva, CAS/WGNE, 28. pp. 5.29, 1999.
- Kubilay, N., E. Ozsoy, S. Nickovic, I. Tegen, and C. Saydam, A hemispheric dust storm affecting the Atlantic and Mediterranean (April 1994): Analysis, Modelling, ground-based measurements and satellite observations, in *Proceedings on International Symposium: Satellite-Based Observation: A Tool for the Study of the Mediterranean Basin, Tunis, 23-27 November 1998*.
- Kubilay, N., S. Nickovic, C. Moulin, and F. Dulac, An illustration of the transport and deposition of mineral dust onto the eastern Mediterranean, *Atm. Environment*, (in press), 1999.
- Lacis, A. A. and J. E. Hansen, A parameterization of the absorption of air-solar radiation in the earth's atmosphere, *J. Atmos. Sci.*, **31**, 118-133, 1974.
- Li, X., H. Maring, D. Savoie, K. Voss, and J. M. Prospero, Dominance of mineral dust in aerosol light scattering in the North Atlantic trade winds, *Nature*, **380**, 416-419, 1996.

- Liu, M.; Westphal, D. L., 2001. A Study of the Sensitivity of Simulated Mineral Dust Production to Model Resolution, *Journal of Geophysical Research Atmospheres* August 27, 2001 (Vol. 106, No. D16, p. 18,099)
- Marticorena, B., and G. Bergametti, Modeling the atmospheric dust cycle: 1. Design of a soil-derived dust emission scheme, *J. Geoph. Res.* 100, 16415-16430, 1995.
- Marticorena, B., G. Bergametti, B. Aumont, Y. Callot, C. N'Doume, and M. Legrand, Modeling the atmospheric dust cycle: 1. Simulation of Saharan dust sources, *J. Geoph. Res.* 102, 4387-4404, 1997.
- Martin, J. K., and S. E. Fitzawater, Ion deficiency limits phytoplankton growth in the North-East Pacific subarctic, *Nature*, 331, 341-343, 1988.
- Mesinger, F., Z.I. Janjic, S. Nickovic, D. Gavrilov and D.G. Deaven, The step-mountain coordinate: model description and performance for cases of Alpine lee cyclogenesis and for a case of an Appalachian redevelopment, *Mon. Wea. Rev.*, 116, 1493-1518, 1988.
- Moulin, C., C. E. Lambert, F. Dulac, and U. Dayan, Control of atmospheric export of dust from North Africa by the North Atlantic Oscillation, *Nature*, 387, 691-694, 1997.
- Murayama, T., N. Sugimoto, I. Matsui, K. Arao, K. Iokibe, R. Koga, T. Sakai, Y. Kubota, Y. Saito, M. Abo, N. Hagiwara, H. Kuze, N. Kaneyasu, R. Imasu, K. Asai, and K. Aoki, Lidar network observation of Asian dust (Kosa) in Japan, in *Proc. SPIE*, Vol.3504, pp.8-15, 1998.
- Murayama, T., N. Sugimoto, I. Uno, K. Kinoshita, K. Aoki, N. Hagiwara, Z. Liu, I. Matsui, T. Sakai, T. Shibata, K. Arao, B. Sohn, J. Won, S. Yoon, T. Li, J. Zhou, H. Hu, M. Abo, K. Iokibe, R. Koga, and Y. Iwasaka, Ground-based network observation of Asian dust events of April 1998 in East Asia, *J. Geophys. Res.*, this issue.
- Nickling, W. G., and J. A. Gillies, Emission of fine-grained particulates from desert soils, in *Paleoclimatology and Paleometeorology: Modern and Past Patterns of Global Atmospheric Transport*, edited by Leinen, M., and M. Sarnthein, pp. 133-165, Kluwer Academic Publishers, 1989.
- Nickling, W. G., and J. A. Gillies, Dust emission and transport in Mali, West Africa, *Sedimentology*, 40, 859-868, 1993.
- Nickovic, S., and S. Dobricic, A model for long-range transport of desert dust, *Mon. Wea. Rev.*, 124, 2537-2544, 1996.
- Nickovic, S., D. Jovic, O. Kakaliagou, and G. Kallos, Production and lon-range transport of desert dust in the Mediterranean region: Eta model simulations, in *Proceedings of 22nd NATO/CCMS International Technical Meeting on Air Pollution Modelling and Its Applications*, 2-6 Jun 1997, Clermont-Ferrand, France, 1997a.
- Nickovic, S., G. Kallos, O. Kakaliagou, and D. Jovic, Aerosol production/transport/deposition process in the Eta model: desert dust simulations, in *Proceedings of Symposium on Regional Weather prediction on Parallel Computer Environments*, ISBN: 960-8468-22-1, Edited by G. Kallos, V. Kotroni and K. Lagouvardos, pp. 137-145, University of Athens, Greece. 1997b.
- Nickovic, S., G. Kallos, A. Papadopoulos, O. Kakaliagou, 2001: A model for prediction of desert dust cycle in the atmosphere *J. Geophys. Res.* **106**, 18113-18130.
- Perry, K.D., T.A. Cahill, R.A. Eldred, and D.D. Dutcher, 1997: Long-range transport of North African dust to the eastern Union States, *J. Geophys. Res.*, 102, 11225-11238, 1997.
- Papadopoulos, A. G. Kallos, S. Nickovic, D. Jovic, M. Dacic, and P. Katsafados, Sensitivity studies of the surface and radiation parameterization schemes of the SKIRON system, in *Proceedings of Symposium on Regional Weather prediction on Parallel Computer Environments*, ISBN: 960-8468-22-1, Edited by G. Kallos, V. Kotroni and K. Lagouvardos, pp. 155-164, University of Athens, Greece, 1997.
- Reichholf, J. H., Is Saharan dust a major source of nutrients for the Amazonian rainforest, *Stud. Neotrop. Fauna Environ.*, 21, 251-255, 1986. Segal, M., On the impact of thermal stability on some rough flow effects over mobile surfaces, *Boundary-Layer Meteor.*, 52, 193-198, 1990.
- Segal, M., On the impact of thermal stability on some rough flow effects over mobile surfaces, *Boundary-Layer Meteor.*, 52, 193-198, 1990.
- Soderman, D. and Dulac, F.: 1998, 'Monitoring and Prediction of the Atmospheric Transport and Deposition of Desert Dust in the Mediterranean Region', in *Programme on Weather Prediction Research (PWPR) Report Series Project*, 10, World Meteorological Organization, pp. 181-186.
- Shao, Y., M. R. Raupach, and P. A. Findlater, Effect of saltation bombardment on the entrainment of dust by wind, *J. Geophys. Res.*, 98, 12719-12726, 1993.

- Slinn, W. G. N., Prediction for particle deposition to vegetative canopies. *Atmos. Environ.*, 1785-1794, 1982.
- Tegen, I., and I. Fung, Modeling of mineral dust in the atmosphere: Sources, transport and optical thickness, *J. Geophys. Res.*, 99, 22987-22914, 1994.
- Van Leer, B., Towards the ultimate conservative difference scheme: IV. A second-order sequel to Godunov's method. *J. Comput. Phys.*, 32, 101-136, 1979.
- Westphal, D. L., O. B. Toon, and T. N. Carlson, A two-dimensional numerical investigation of the dynamics and microphysics of Saharan dust storms, *J. Geoph. Res.* 92, 3027-3049, 1987.
- Westphal, D. L., O. B. Toon, and T. N. Carlson, A case study of mobilization and transport of Saharan dust, *J. Atmos. Sci.* 45, 2145-2175, 1988.
- White, B. R., Soil transport by winds in Mars, *J. Geophys. Res.*, 84, 4643-4651, 1979.
- Wilson, M. F., and A. Henderson-Sellers, A global achieve of land cover and soils data for use in general circulation climate models. *J. Climatology*, 5, 119-143, 1985.
- Zhao, Q., and F. H. Carr, A Prognostic Cloud Scheme for Operational NWP Models, *Mon. Wea. Rev.*, 125, 1931-1953, 1997.
- Zilitinkevich, S. S., Non-local turbulent transport: pollution dispersion aspects of coherent structure of convective flows, in *Air Pollution III - Volume I. Air Pollution Theory and Simulation*, edited by. H. Power, N. Moussiopoulos and C.A. Brebbia, pp. 53-60, Computational Mechanics Publications, Southampton Boston, 1995.
- Zilitinkevich, S., A. A. Grachev, and J. C. R. Hunt, Surface frictional processes and non-local heat/mass transfer in the shear-free convective boundary layer. In: *Buoyant Convection in Geophysical Flows* (Eds. E. J. Plate et al.), Kluwer Acad. Publishers, The Netherlands, 83-113, 1998.